



Utiliser la capacité de mémoire en température et en pression du verre pour comprendre les événements géologiques : possibilités et limites

Dominique de Ligny

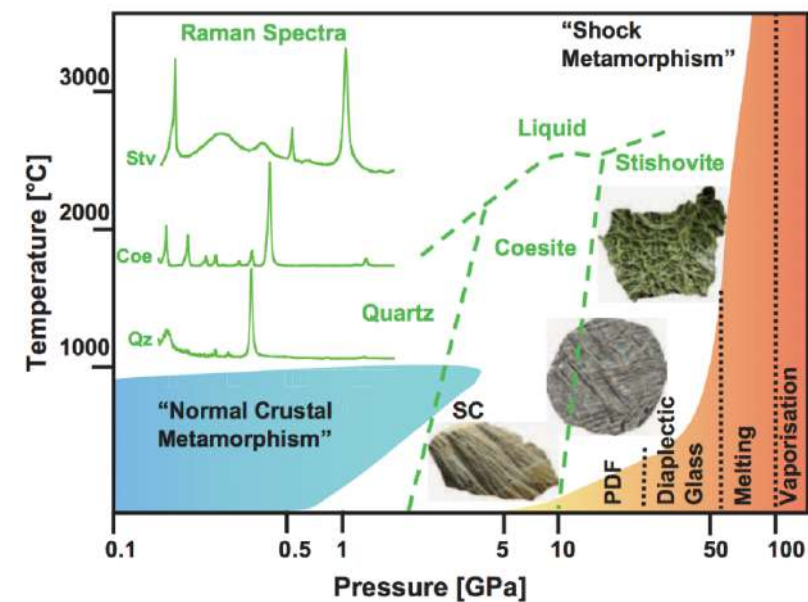
Universität Erlangen-Nürnberg, Lehrstuhl für Glas und Keramik, Erlangen, Germany

30. Mai 2022, Paris

Géologie



- Science historique
- Recherche d'indices pour comprendre les conditions Pression, Température, durée, temps
- Méthodes à l'équilibre
 - Champs de stabilité thermodynamique
 - Equilibre redox
- Méthodes cinétiques
 - Gradient de diffusion
 - Vitesse de croissance
- **Verres ont une mémoire spécifique**



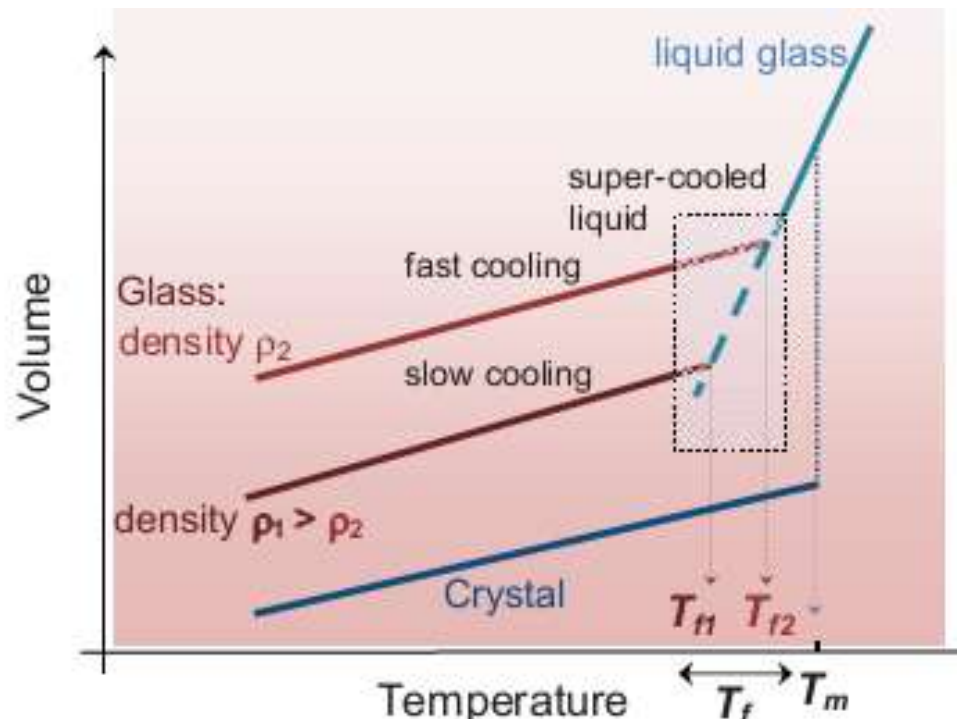
Cicconi & Neuville 2019: Natural glasses.
Springer Handbook of Glasses

Sommaire

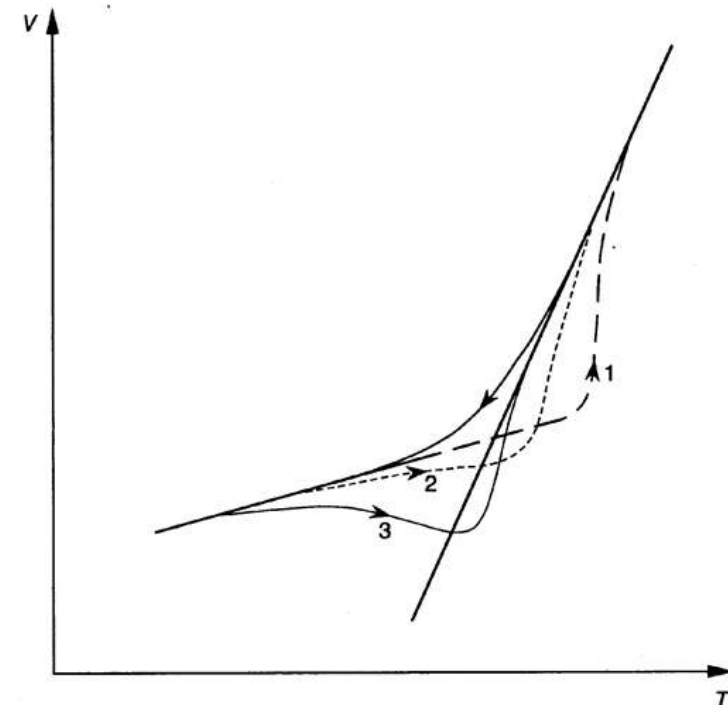
- D'où vient la mémoire du verre
- Comment peut on la lire
- Exemple venant de l'industrie
 - Vitesse de refroidissement des fibres
 - Aérosol déposition
 - Larmes bataviques
- Tentatives dans la nature
 - Tectites
 - Fulgurites
 - Obsidiennes



Effet de la température



Refroidissement à différentes vitesses

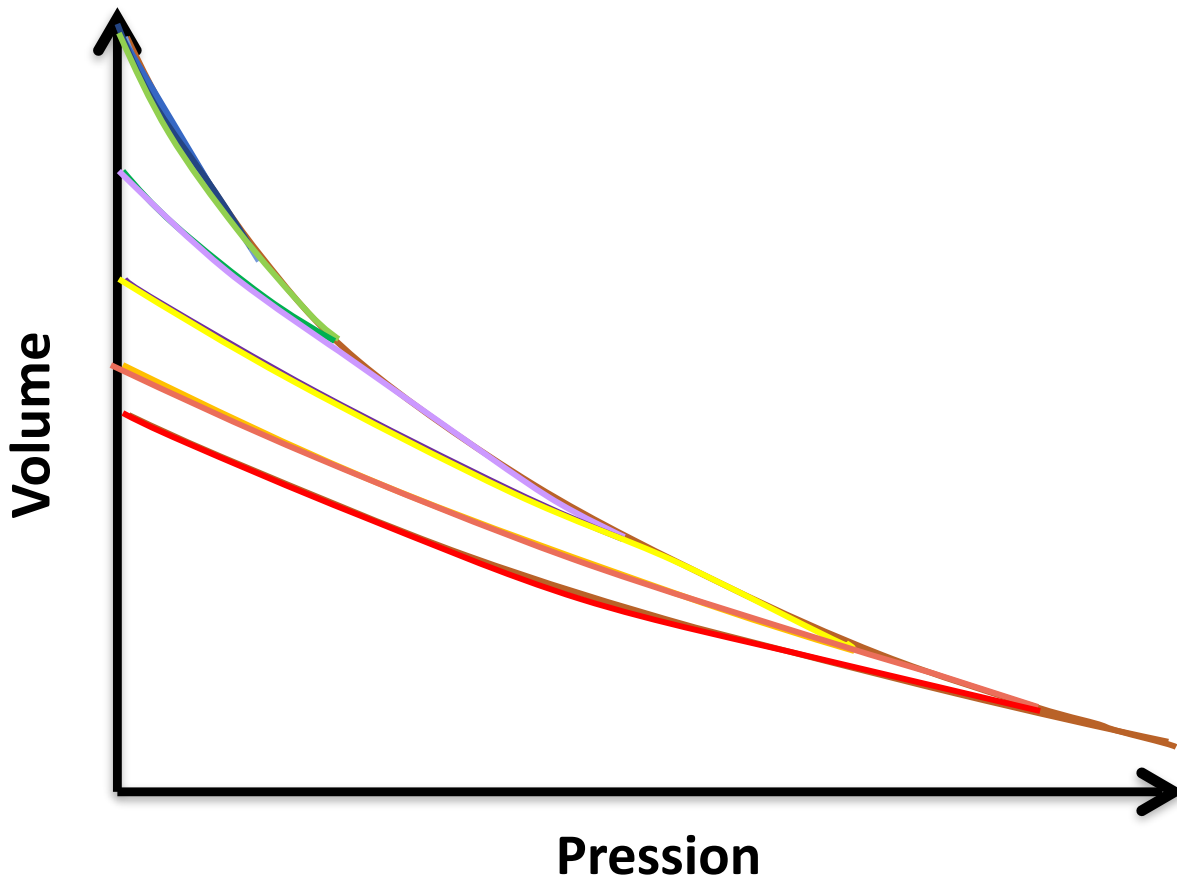


Chauffage à différentes vitesses

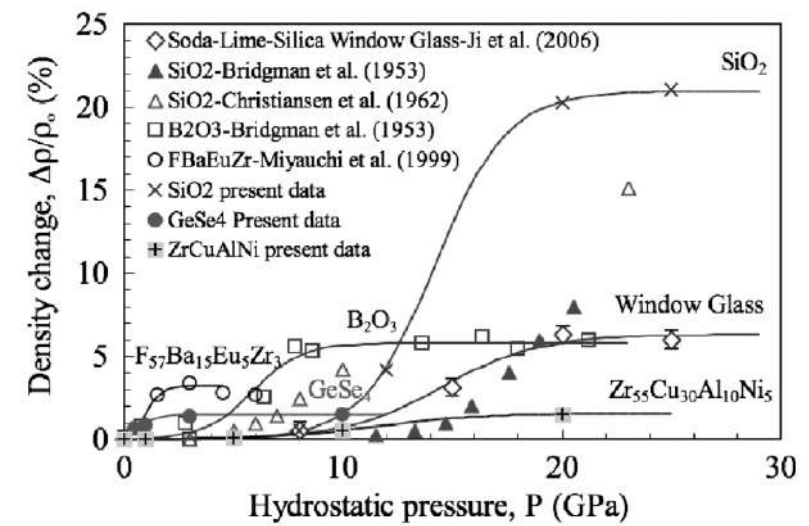
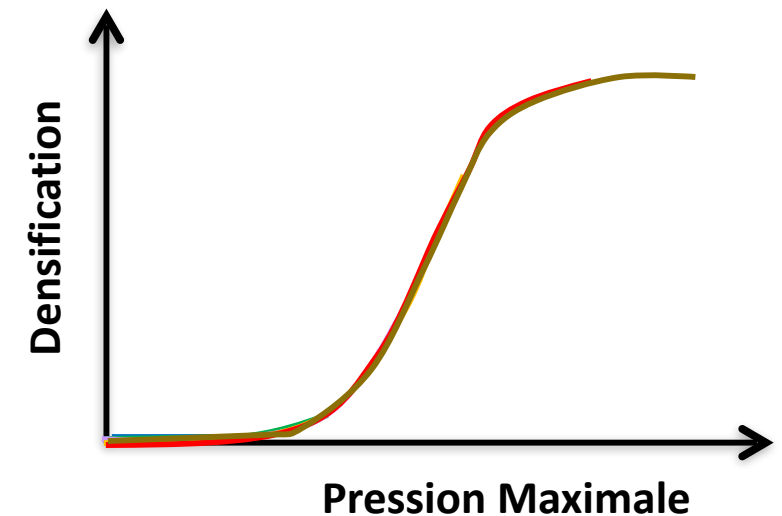
La vitesse de refroidissement dans la zone de transition vitreuse est enregistrée.

La température fictive représente la température de transition vitreuse pour une vitesse de refroidissement donnée.

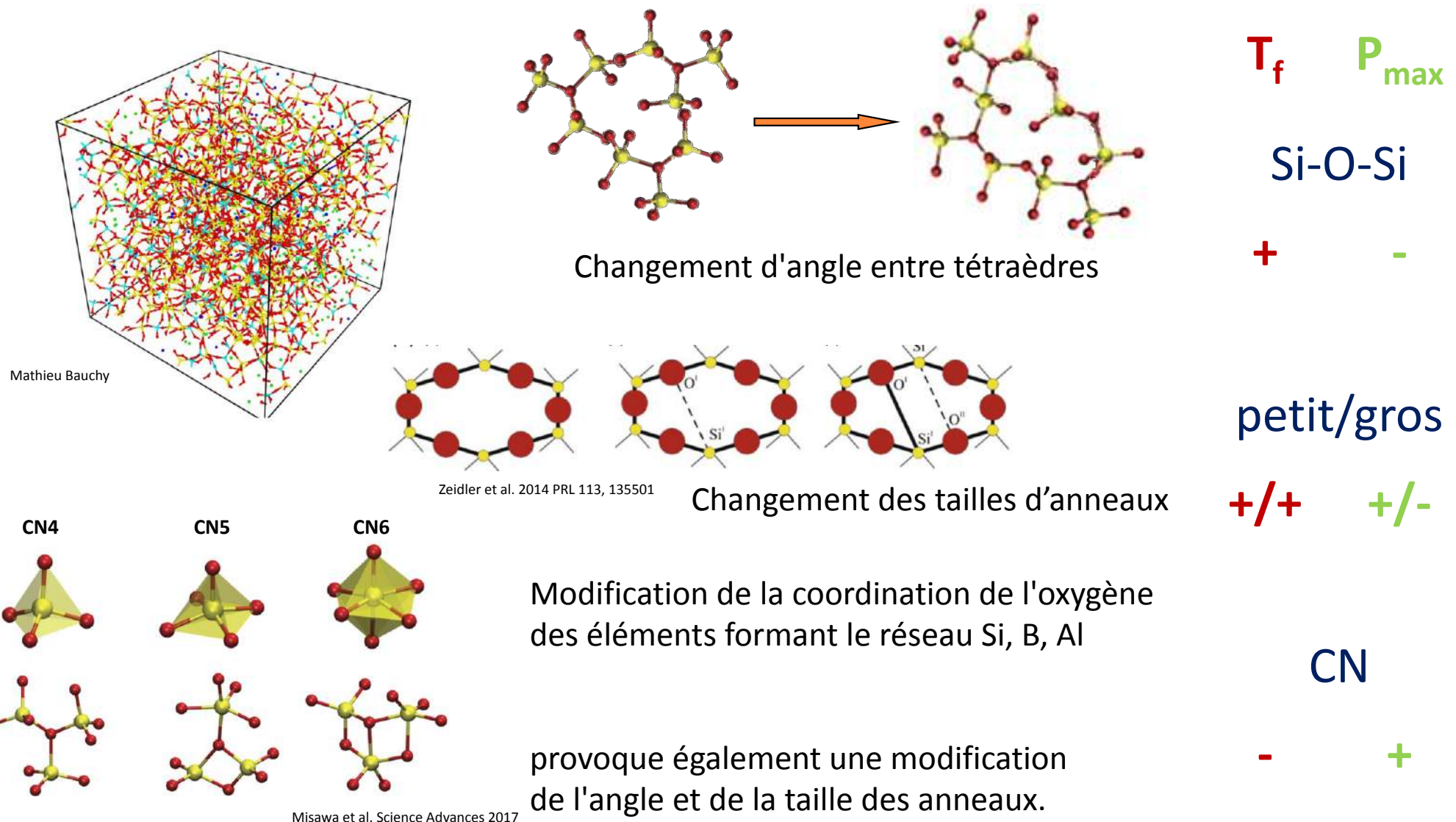
Effet de la pression



La pression maximale est enregistrée



Modifications atomiques liées aux changements de volume



Sommaire

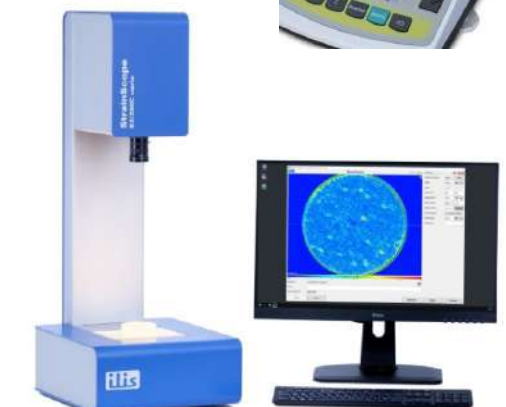
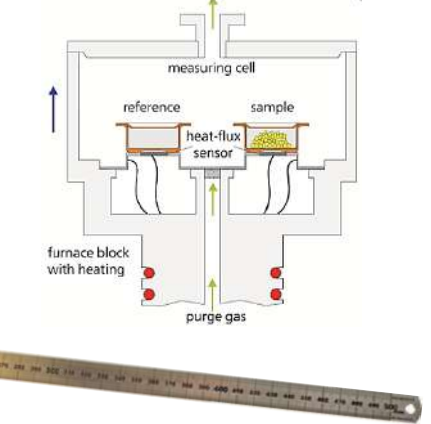
- D'où vient la mémoire du verre
- **Comment peut on la lire**
- Exemple venant de l'industrie
 - Vitesse de refroidissement des fibres
 - Aérosol déposition
 - Larmes bataviques
- Tentatives dans la nature
 - Tectites
 - Fulgurites
 - Obsidiennes



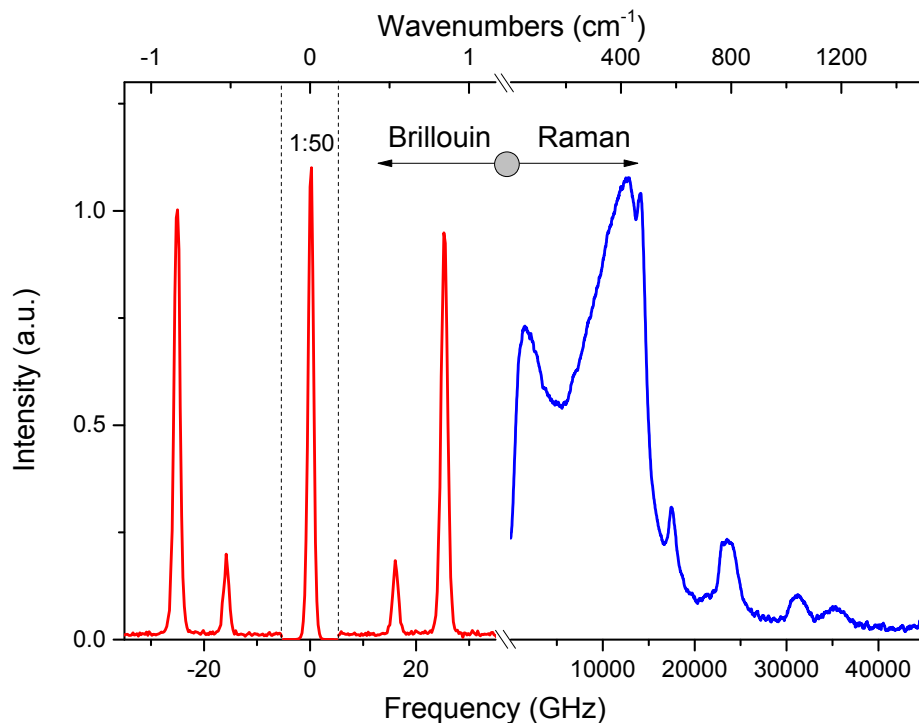
Lire la mémoire du verre

Différents instruments

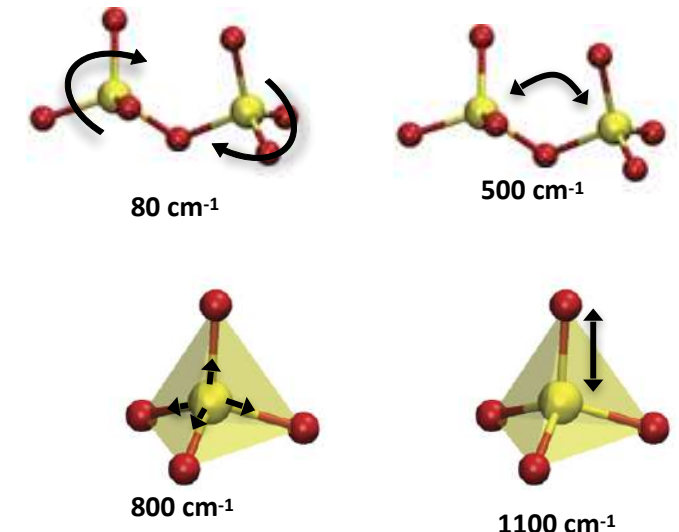
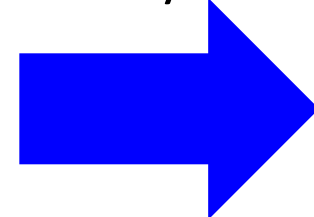
Methode	Taille observée	Forme	Calibration
DSC Calorimétrie	mm	Poudre	pas
Volume	mm	Régulière	pas
Indice de réfraction	100 µm	Régulière	Coef. photoélastique
Densité	cm	Complexe	pas
Raman	1 µm	Complexe	Spécifique
Brillouin	1 µm	Complexe	Spécifique
Luminescence	1 µm	Complexe	Spécifique



Spectroscopie vibrationnelle



Raman
analysis



interpretation
du Brillouin

Vitesse du son

$$c = \frac{\lambda}{\sqrt{2n}} f^{90}$$

λ – longueur d'onde du laser
 n – indice de réfraction
 f^{90} – fréquence

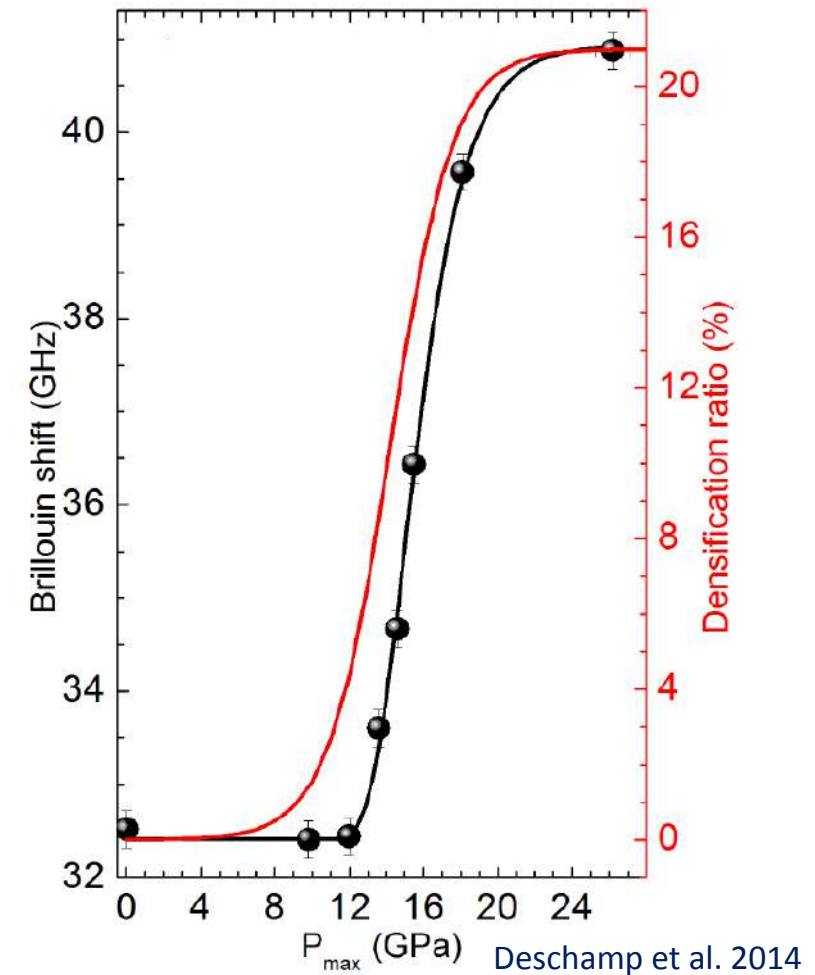
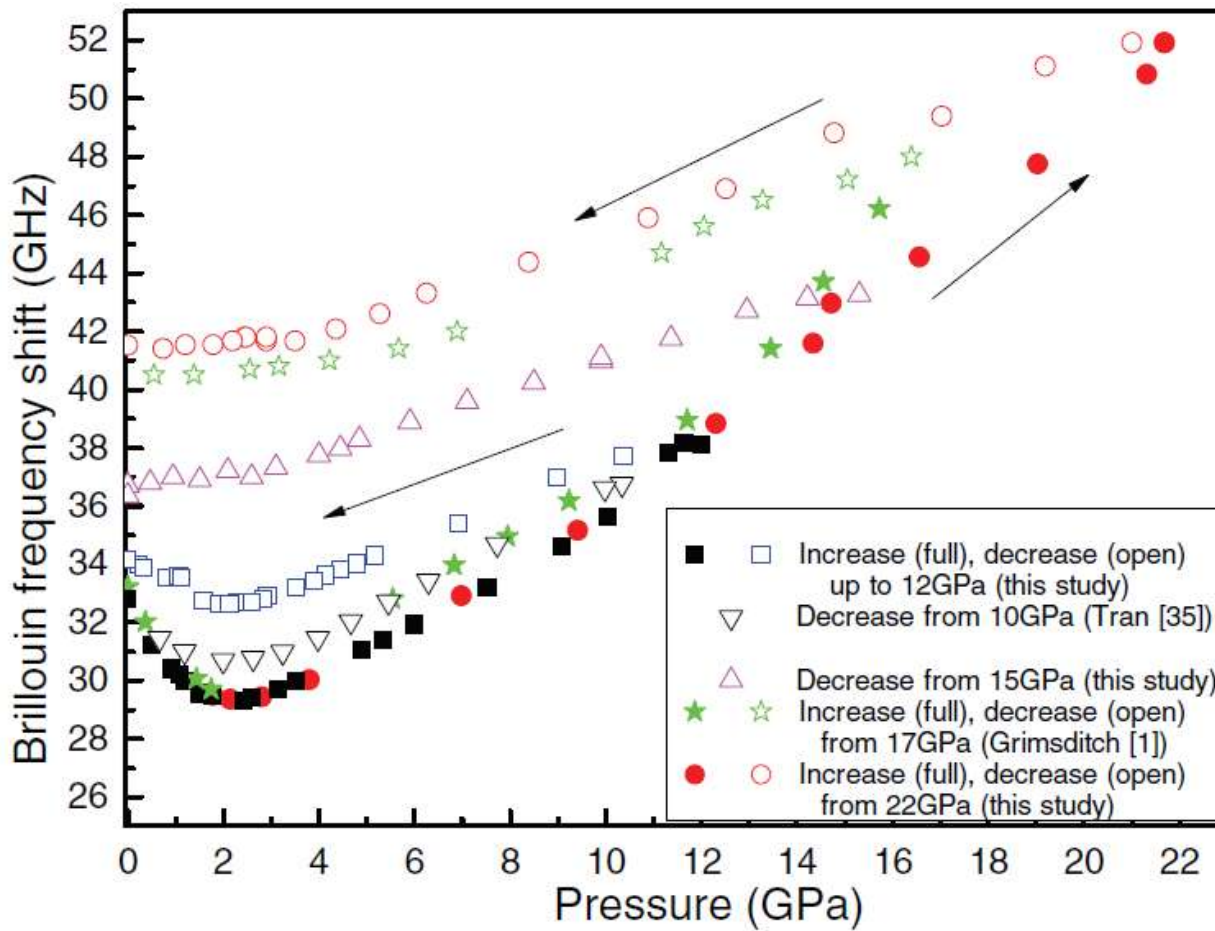
module de cisaillement

$$G = \rho c_t^2$$

module
d'imcompressibilité

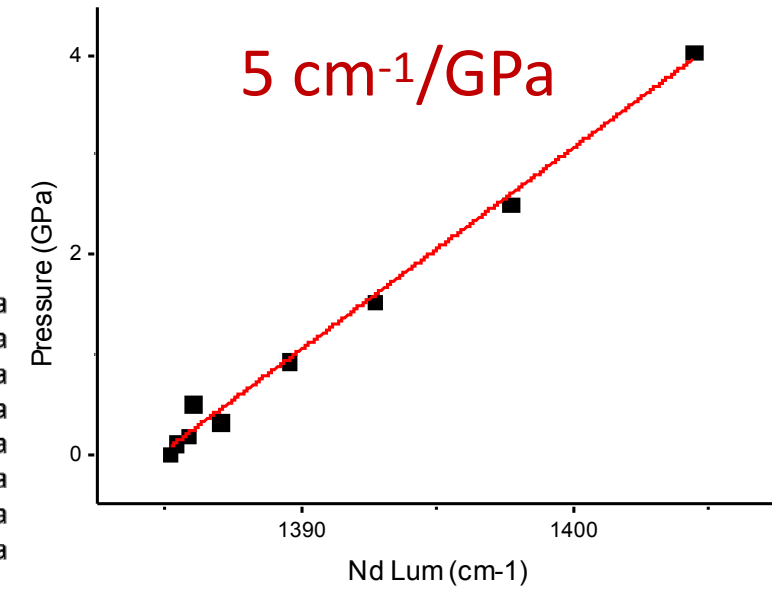
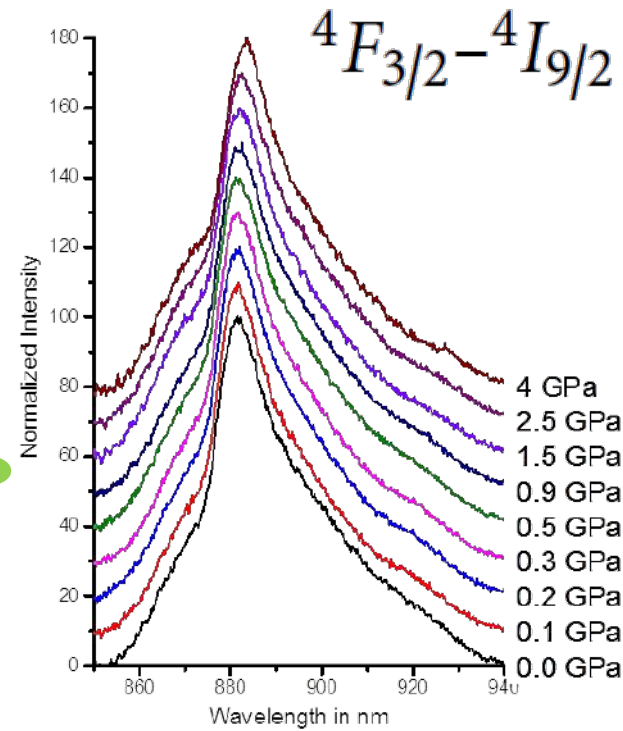
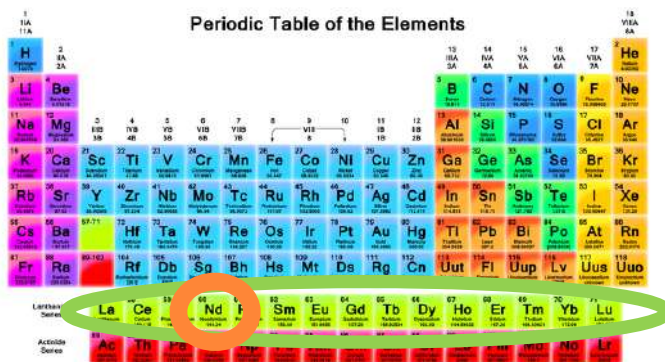
$$K = \rho c_l^2 - \frac{4}{3}\mu$$

Spectroscopie Brillouin



Le signal Brillouin montre une évolution progressive avec une pression maximale. Pas tout à fait proportionnel à la compression.

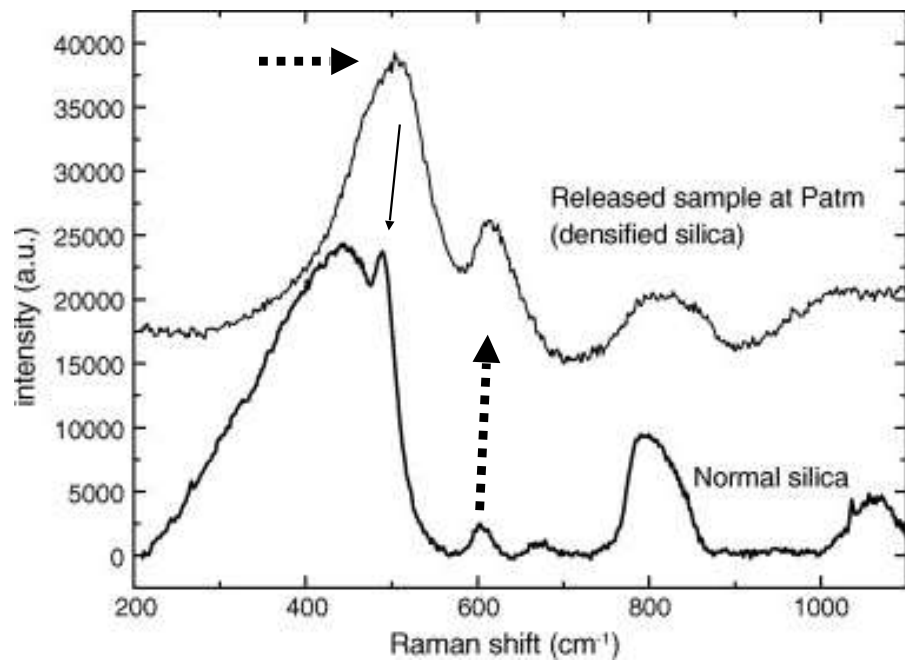
Luminescence des Terres Rares



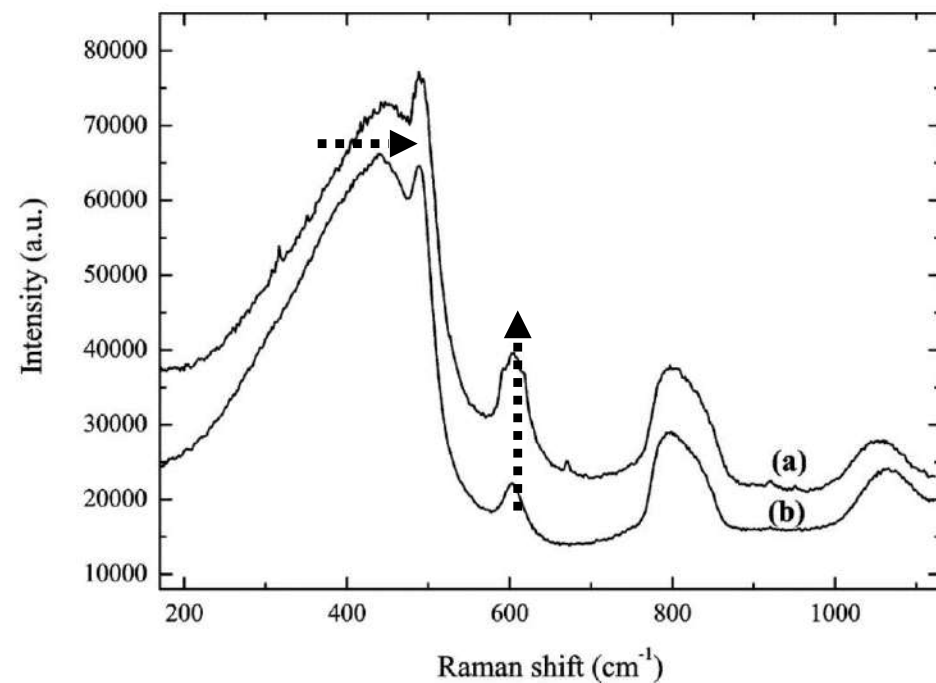
La luminescence est proportionnelle à la densité, soit par compression, soit par contrainte résiduelle.

Verre SiO₂, que peut on espérer voir?

Haute Pression



Haute Température



Pression et Trempes rapides induisent une densification
D1 très distincte si Trempe rapide

Sommaire

- D'où vient la mémoire du verre
- Comment peut on la lire
- Exemple venant de l'industrie
 - Vitesse de refroidissement des fibres
 - Aérosol déposition
 - Larmes bataviques
- Tentatives dans la nature
 - Tectites
 - Fulgurites
 - Obsidiennes



Vitesse de refroidissement des fibres

ISG International Standard Glass

60.2 SiO₂ -16.0 B₂O₃ -12.6 Na₂O -3.8 Al₂O₃ - 5.7 CaO -**1.7 ZrO₂**

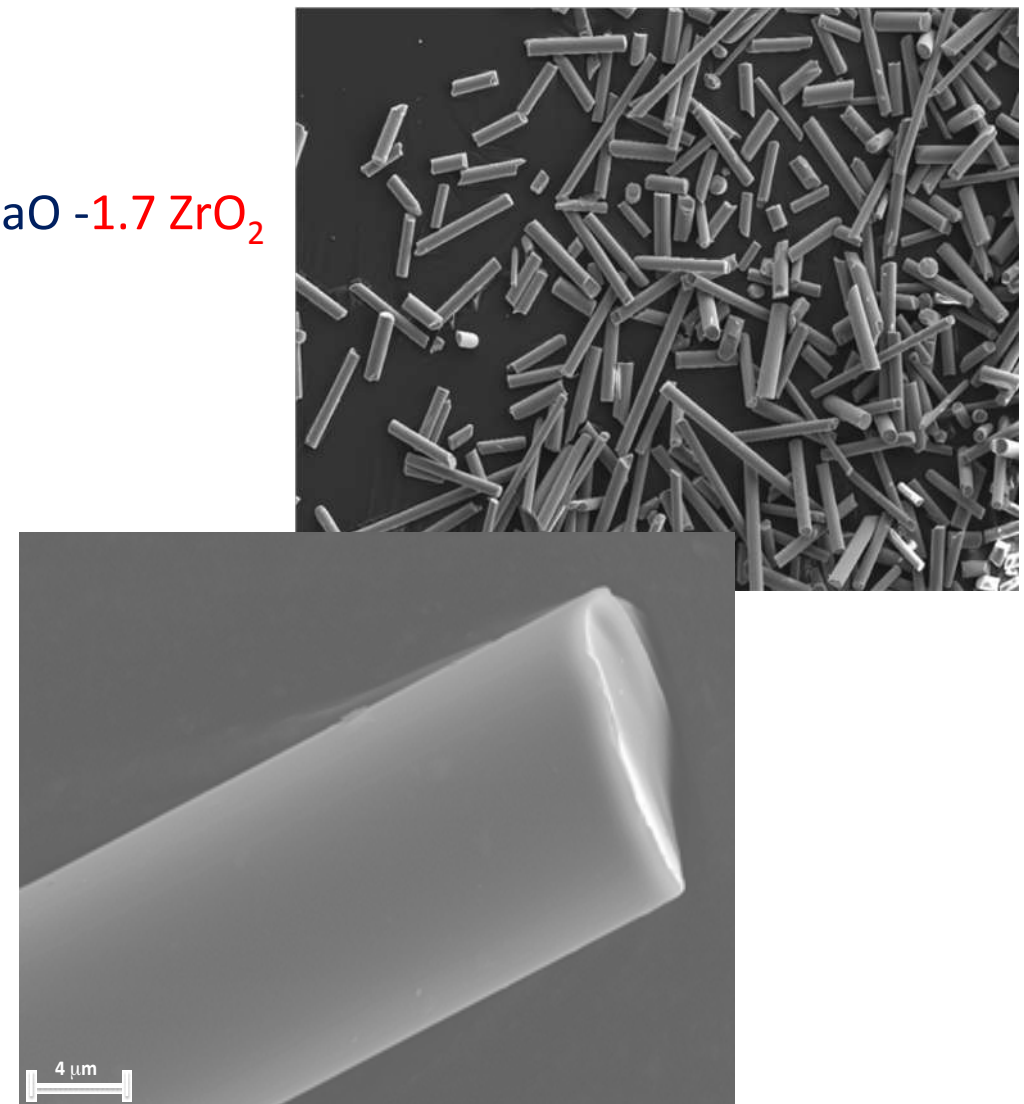
Analogie entre l'auto-irradiation et la température fictive élevée

Grands échantillons irradiés difficiles à produire

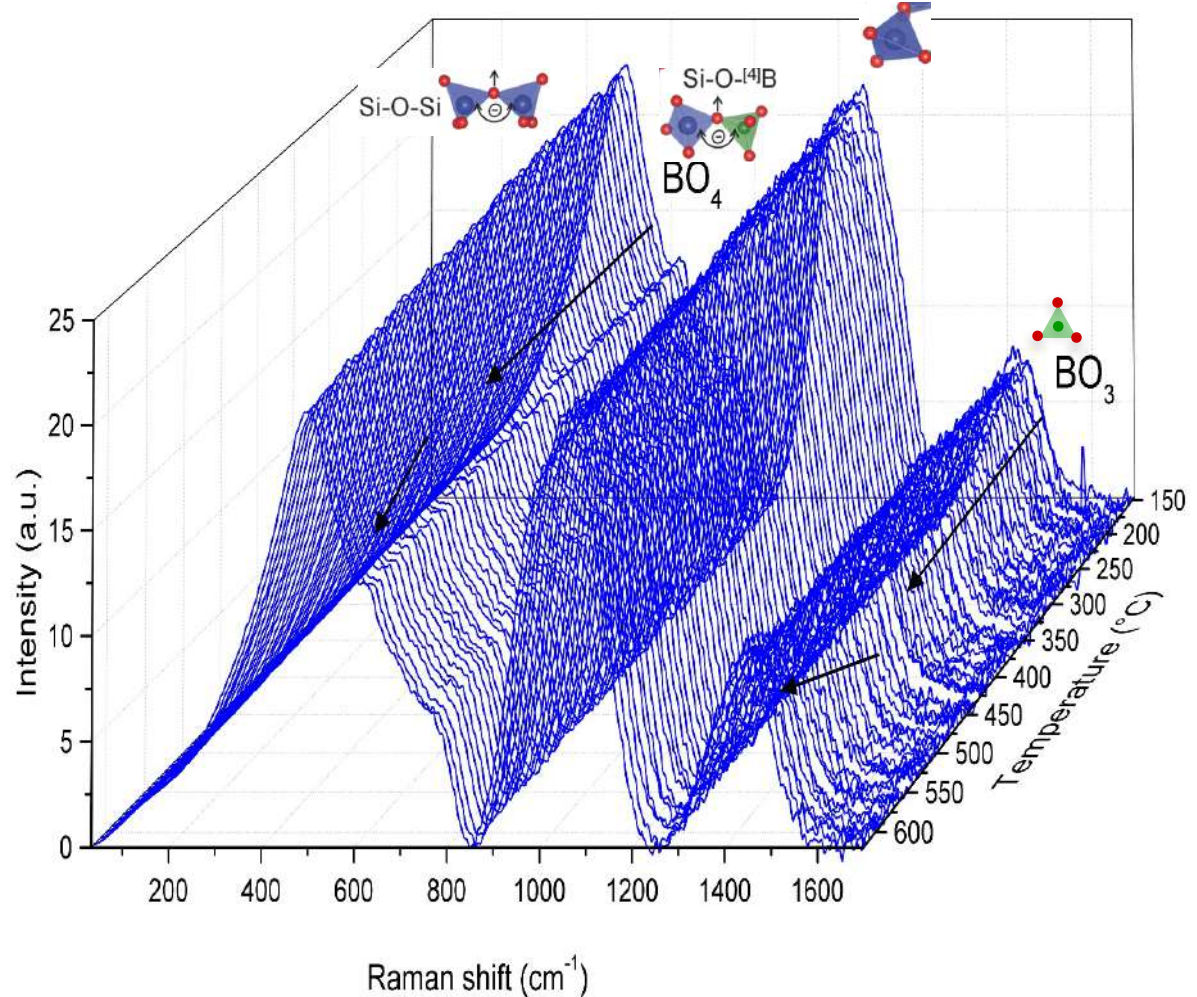
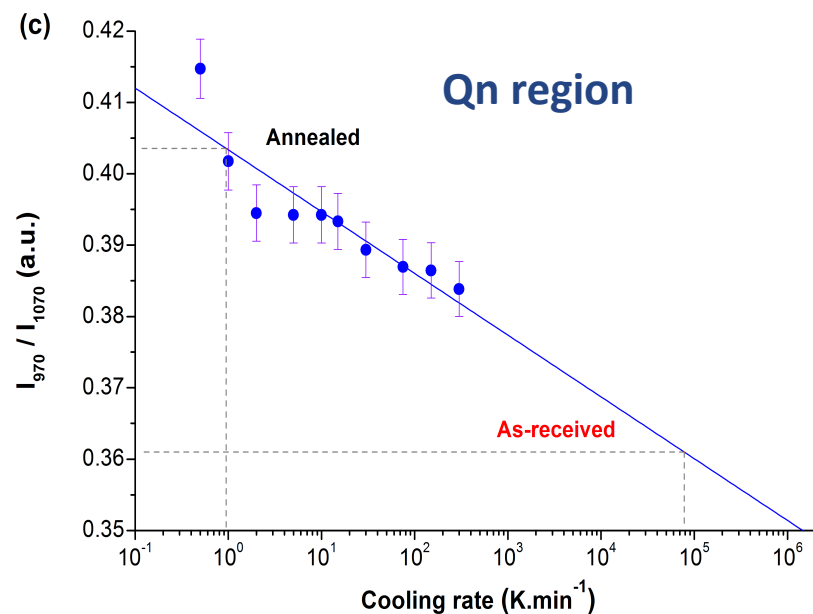
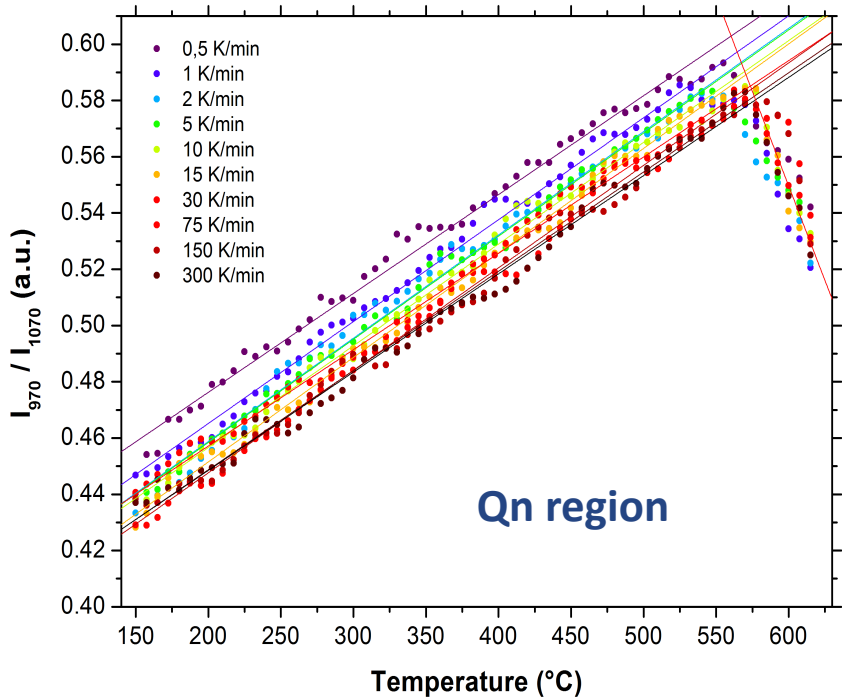
Les fibres sont un bon moyen d'obtenir des échantillons hypertremplés.

Quel est le taux de refroidissement ou la température fictive de la fibre ?

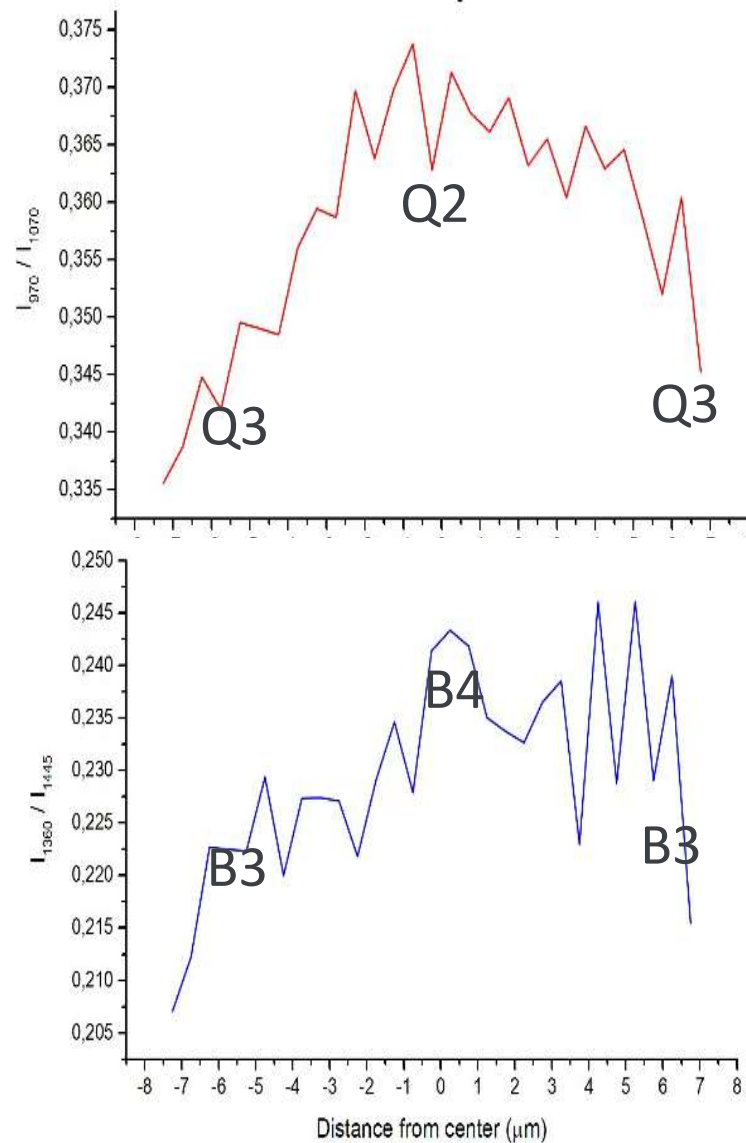
Ici, il est difficile d'effectuer une mesure DSC directe



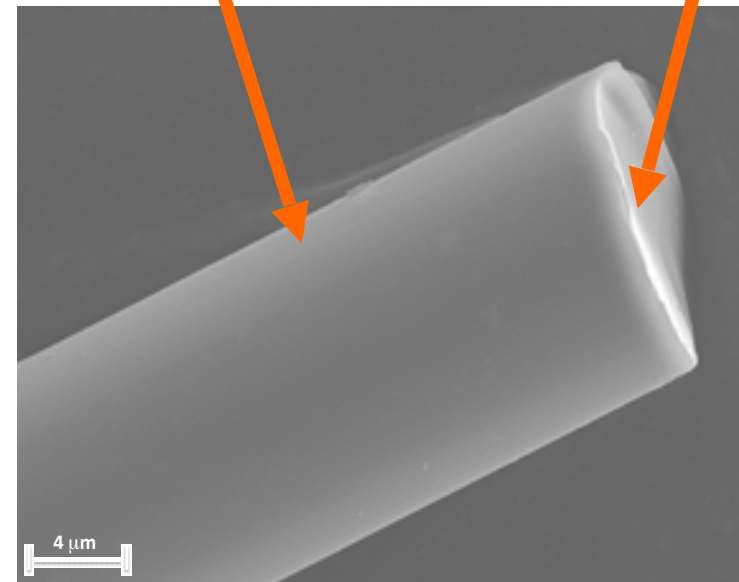
Vitesse de refroidissement des fibres



Vitesse de refroidissement des fibres



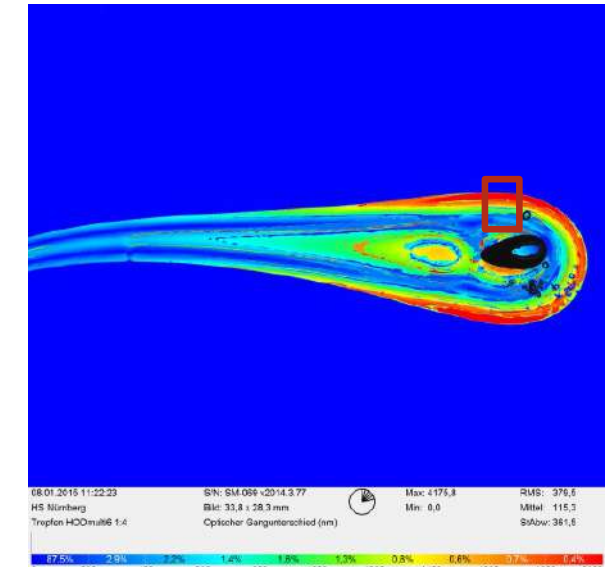
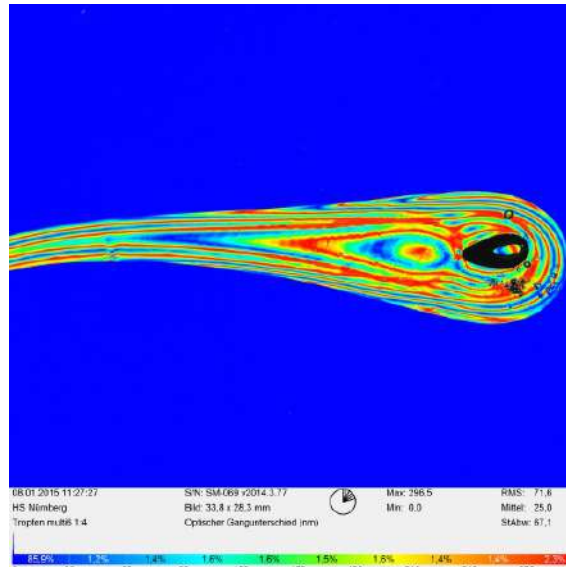
$\sim 10^6 \text{ K}.\text{min}^{-1}$



$\sim 5.10^4 \text{ K}.\text{min}^{-1}$

Larmes bataviques

Mystery of Prince Rupert's Drop at
130,000 fps - Smarter Every Day 86
YouTube



Forme complexe

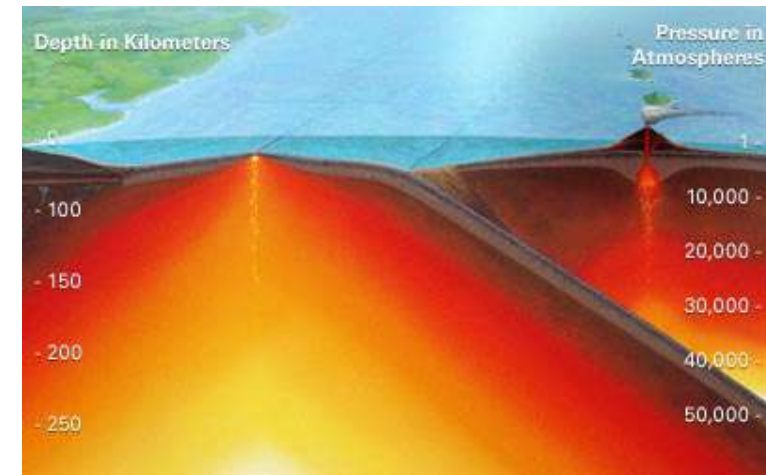
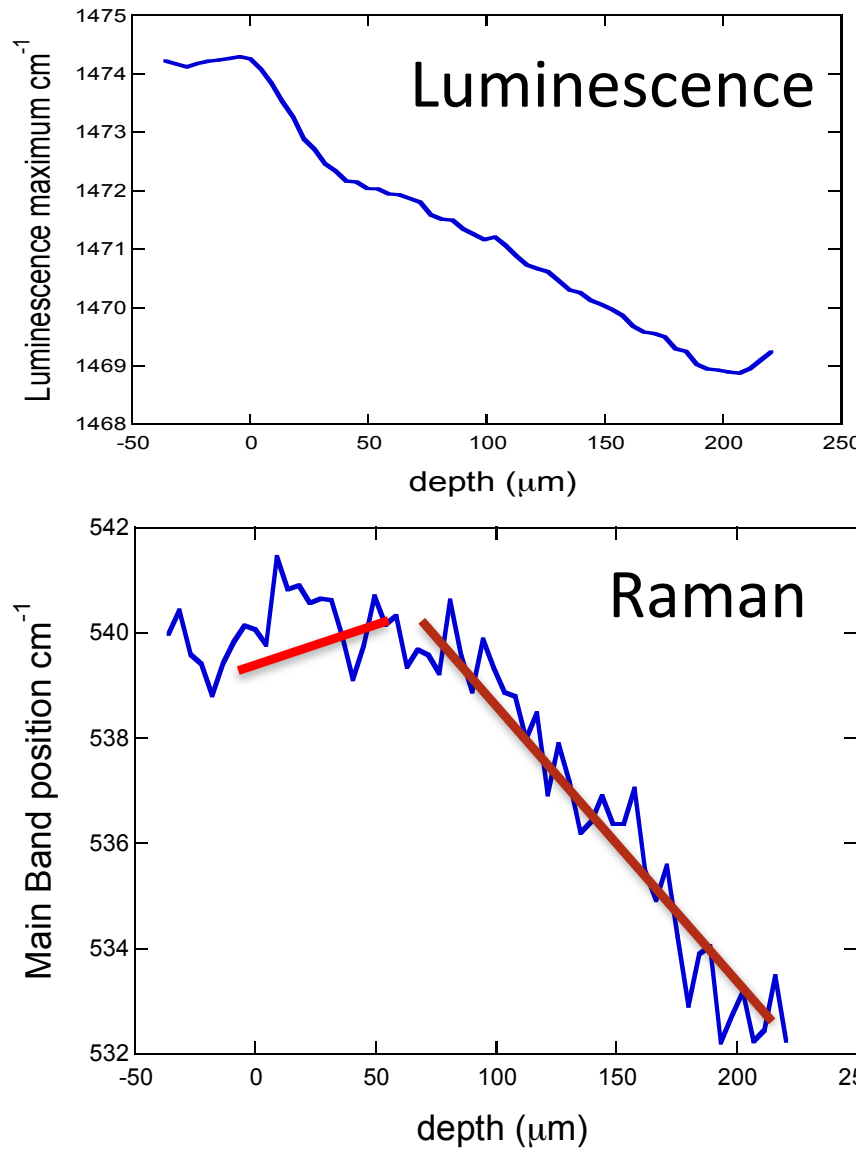
Approximation à un cylindre avec un coefficient photoélastique de 2.7 TPa^{-1}
500 MPa pour les 2-3mm



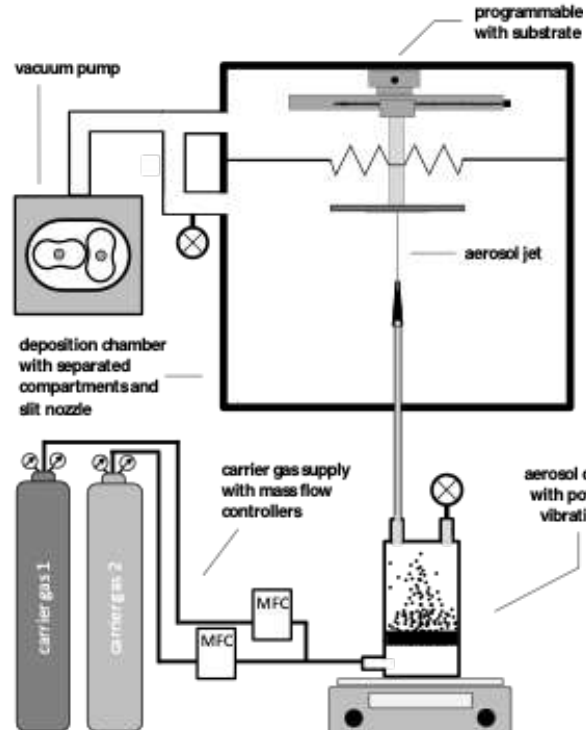
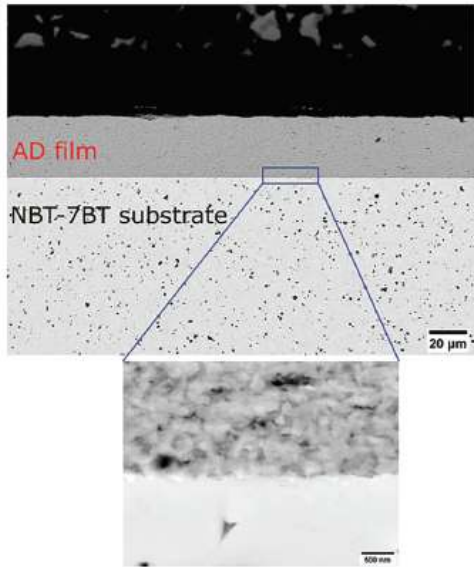
Accroissement de densité de 3,7% pendant la relaxation

$$K = \rho \frac{dP}{d\rho}$$

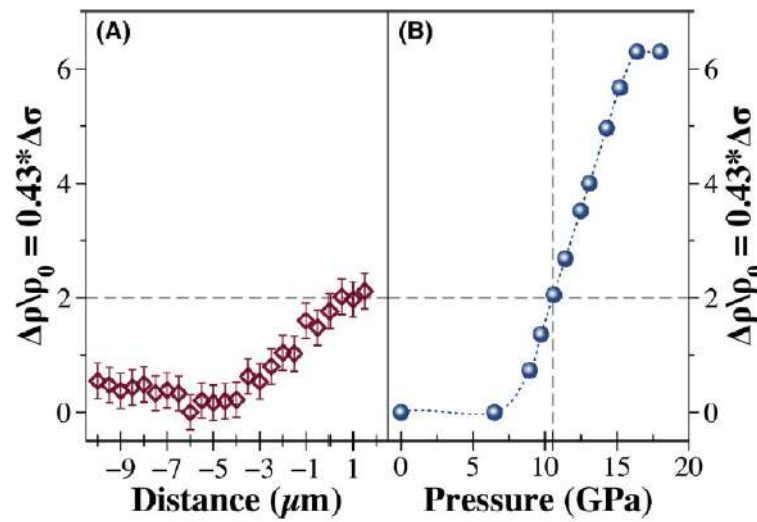
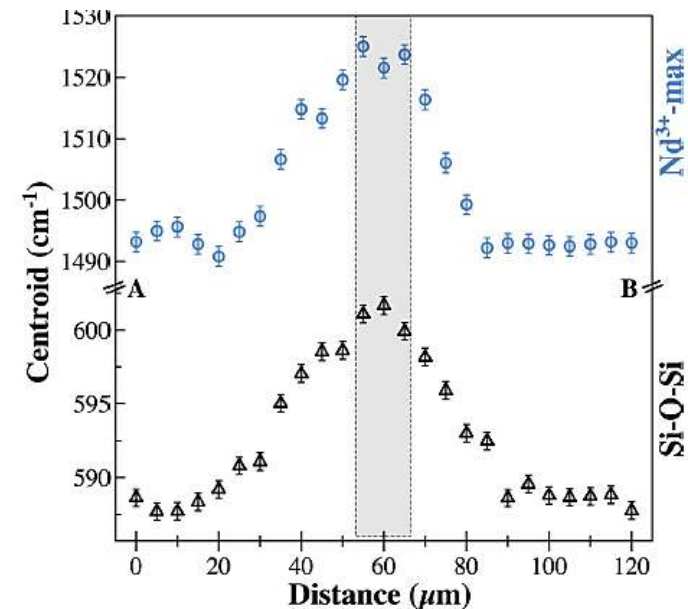
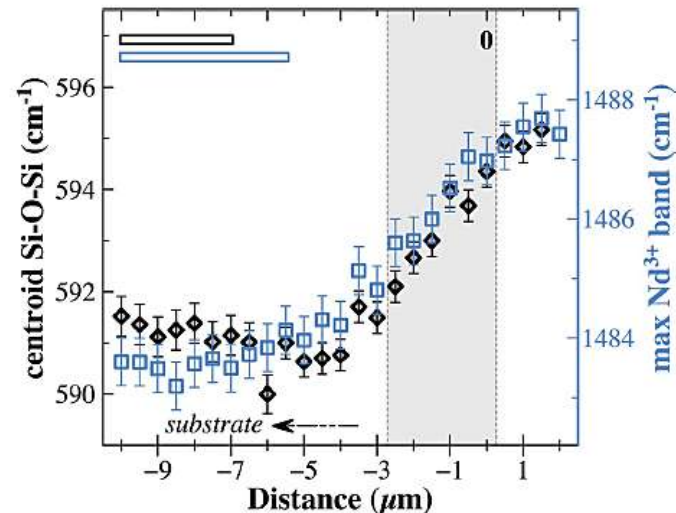
Larmes bataviques



Variation de 1GPa entre la surface et 200 μm en profondeur
En surface un effet aussi lié à la vitesse de refroidissement



Aérosol déposition



Pendant la déposition la pression augmente jusqu'à 10GPa

Sommaire

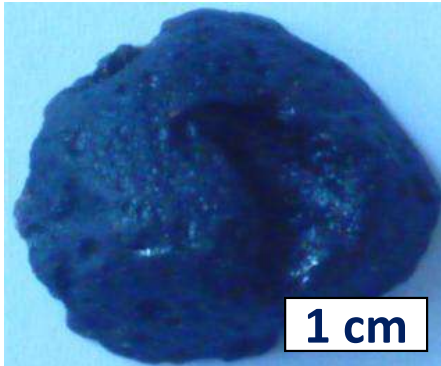
- D'où vient la mémoire du verre
- Comment peut on la lire
- Exemple venant de l'industrie
 - Vitesse de refroidissement des fibres
 - Aérosol déposition
 - Larmes bataviques
- Tentatives dans la nature
 - Tectites
 - Fulgurites
 - Obsidiennes



Tectites

- Glass transition temperature:
 - Moldavite: $T_g \approx 740^\circ\text{C}$
 - Chinoises et Thailandaises: $T_g \approx 680^\circ\text{C}$
- Est il possible de détecter un effet par spéctroscopie?

Tectite Chinoise



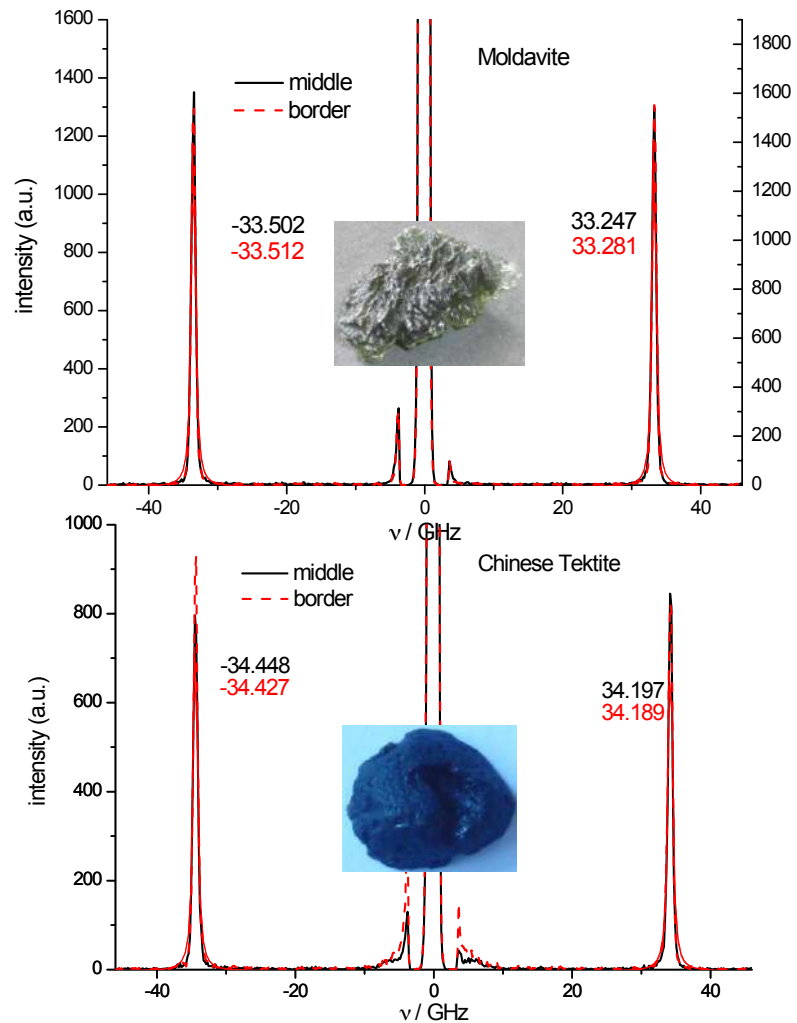
Moldavite



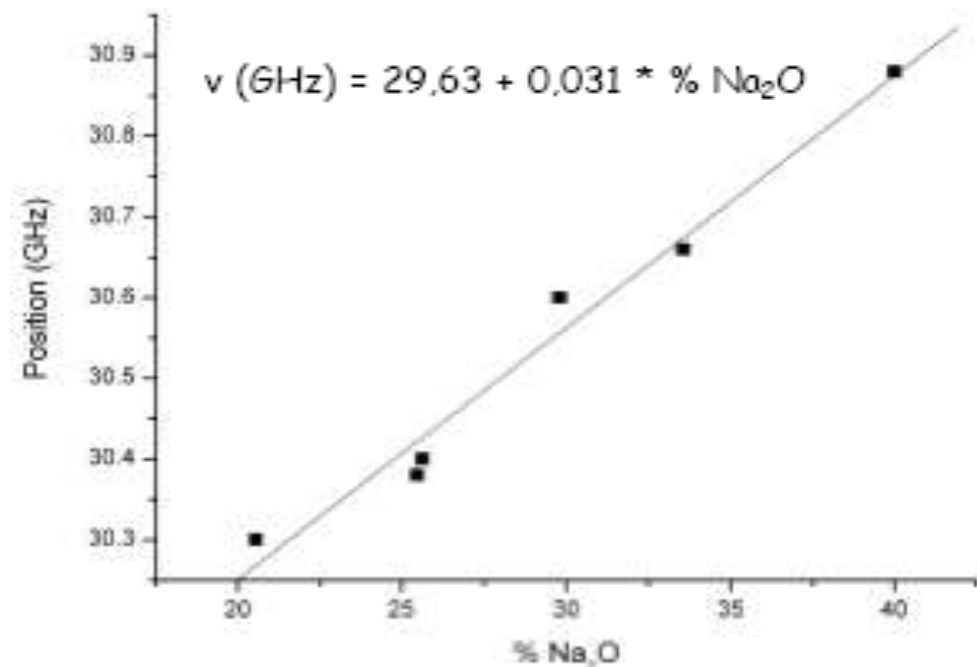
Tectite Thai



Tectites Brillouin

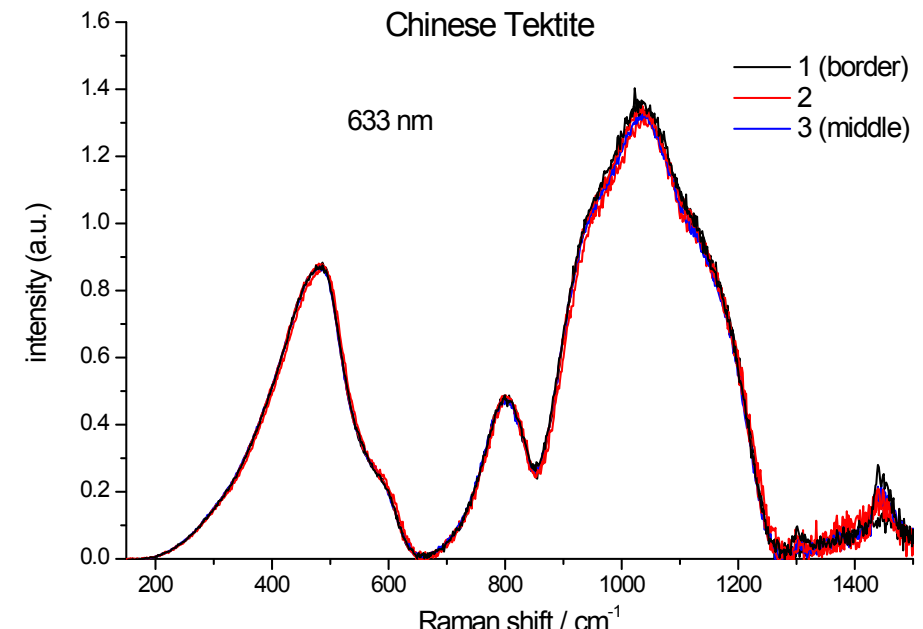
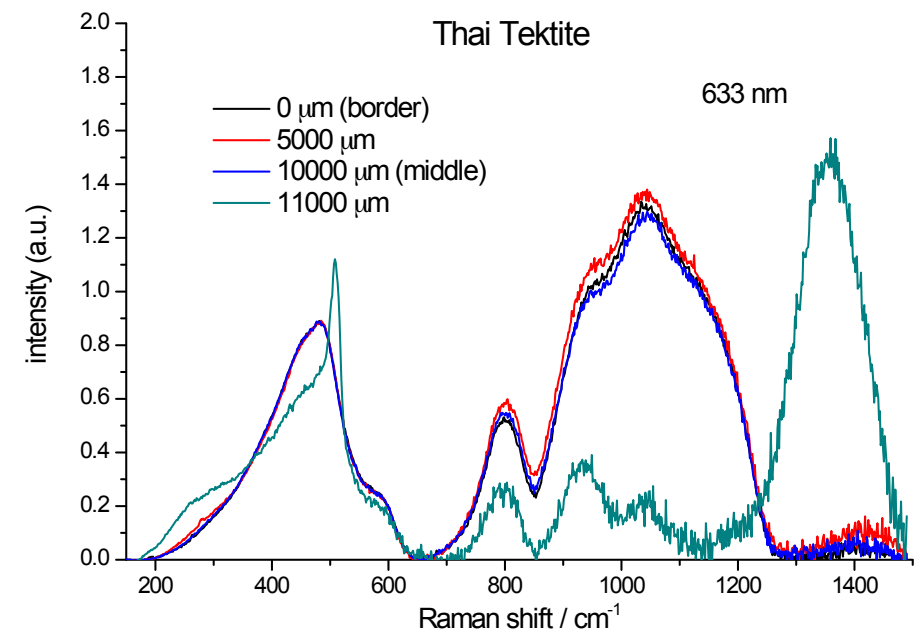
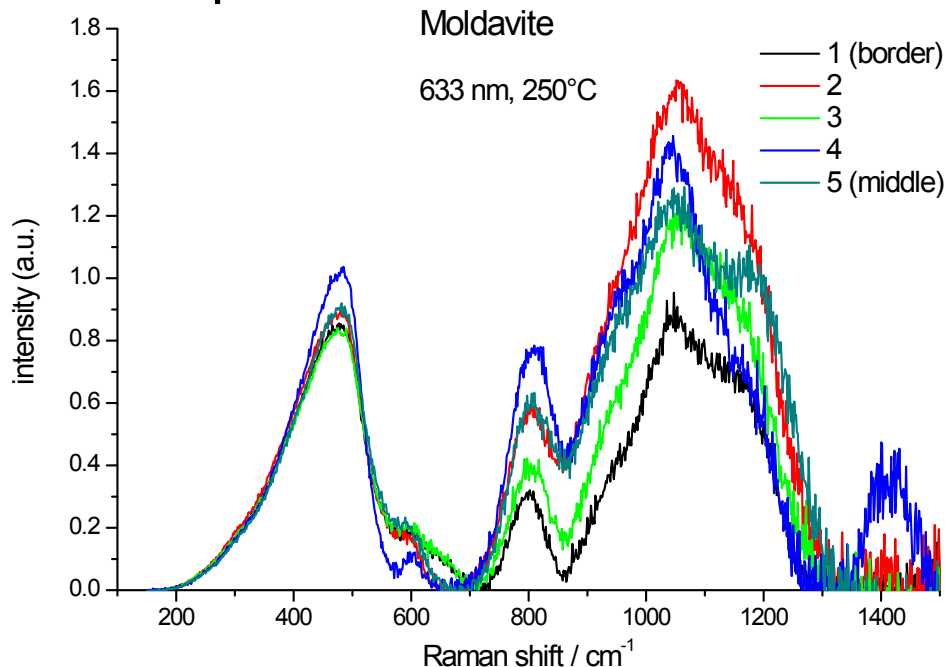


Tektite	$\nu_{\text{max}} / \text{GHz}$ (middle)	$\nu_{\text{max}} / \text{GHz}$ (border)
Moldavite	-33.502 33.247	-33.512 33.281
Thai T.	-34.365 34.138	-34.301 34.146
Chinese T.	-34.448 34.197	-34.427 34.189

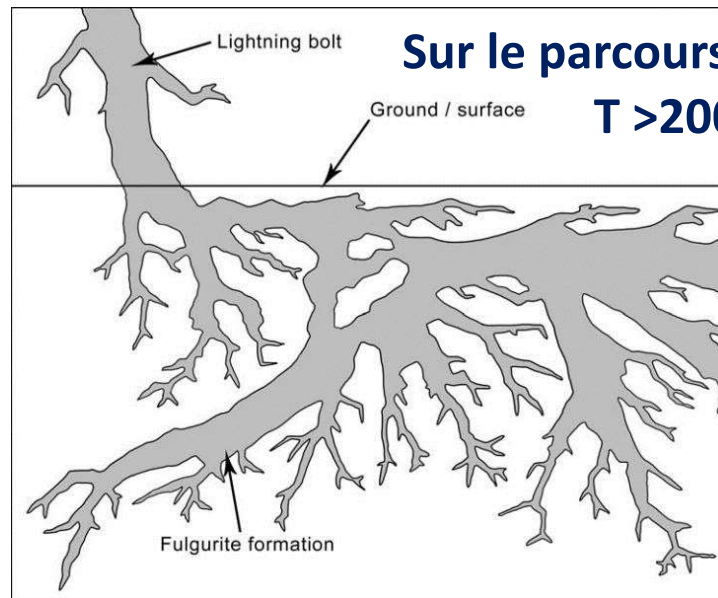


Tectites Raman

- Pas de changements significatifs du bord vers le centre
- Inhomogénéités dominant le spectre
- Cristallisation
- Graphite ?



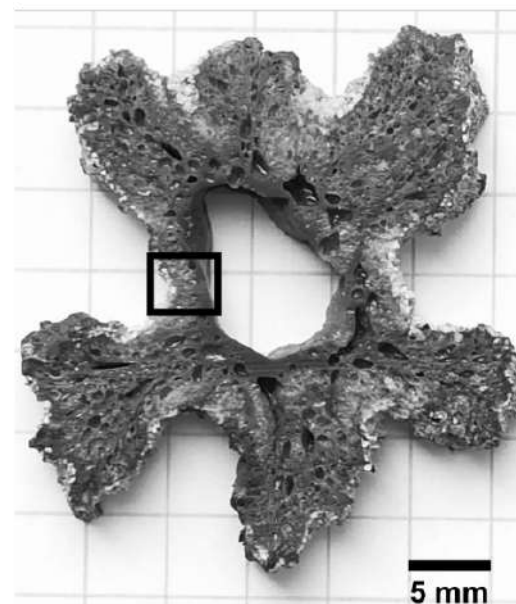
Fulgurites



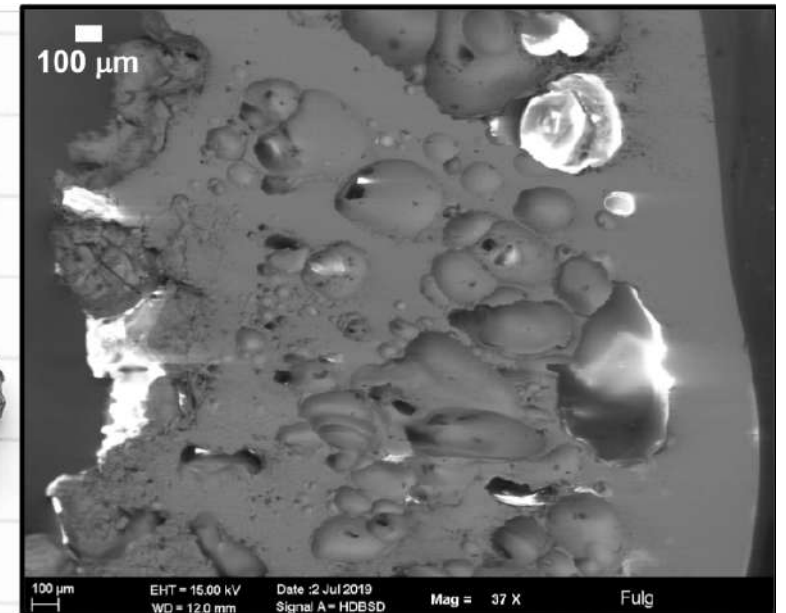
tubes creux avec beaucoup de vésicules créées par vaporisation



Surface externe irregulière

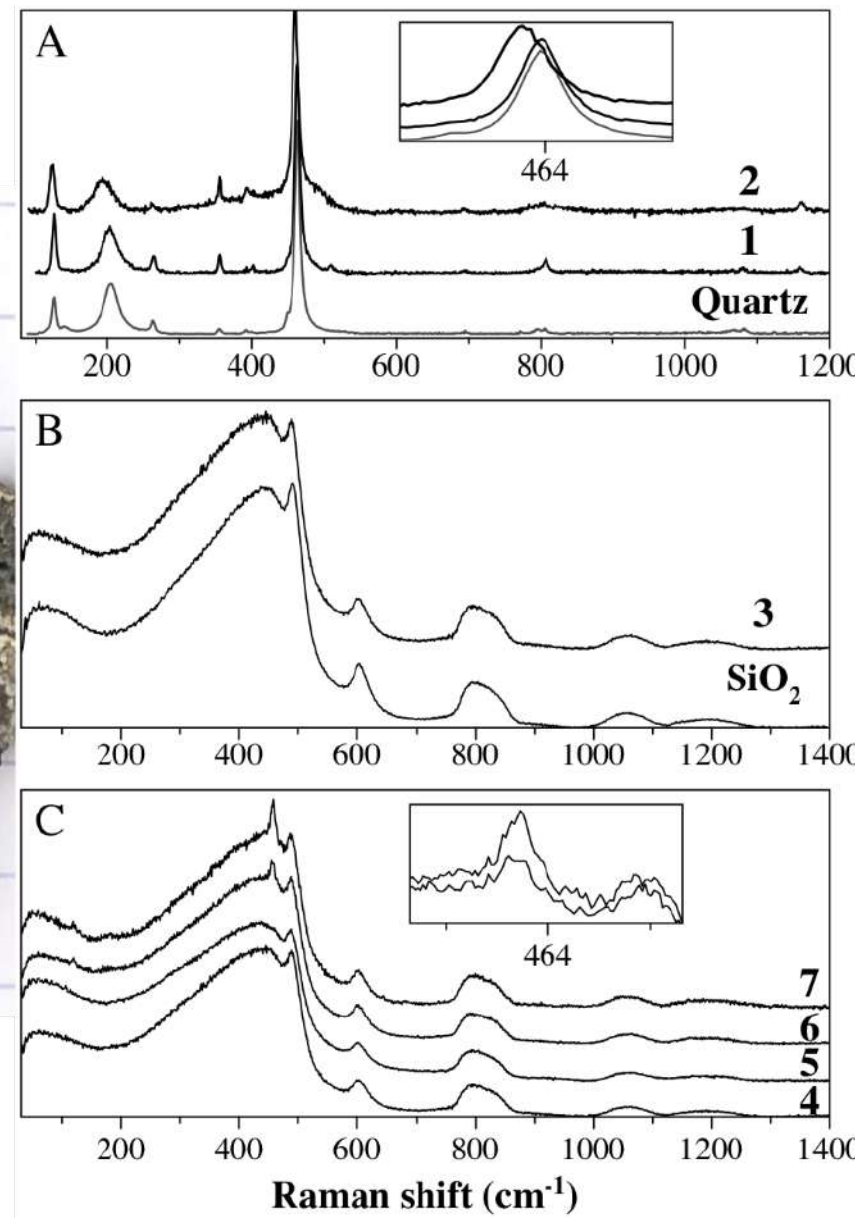
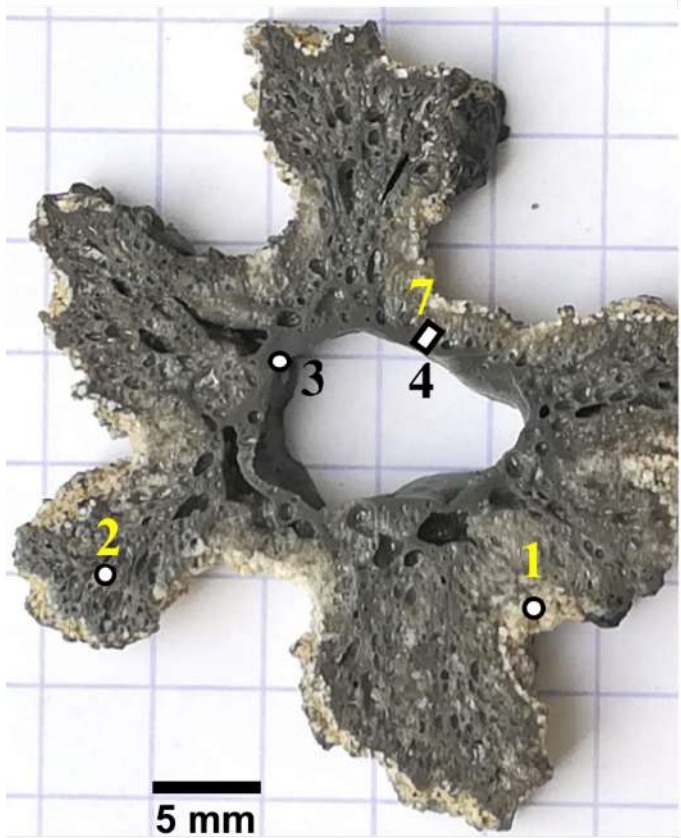


Surface interne lisse



Cicconi & Neuville 2019: Natural glasses.
Springer Handbook of Glasses

Fulgurites Raman

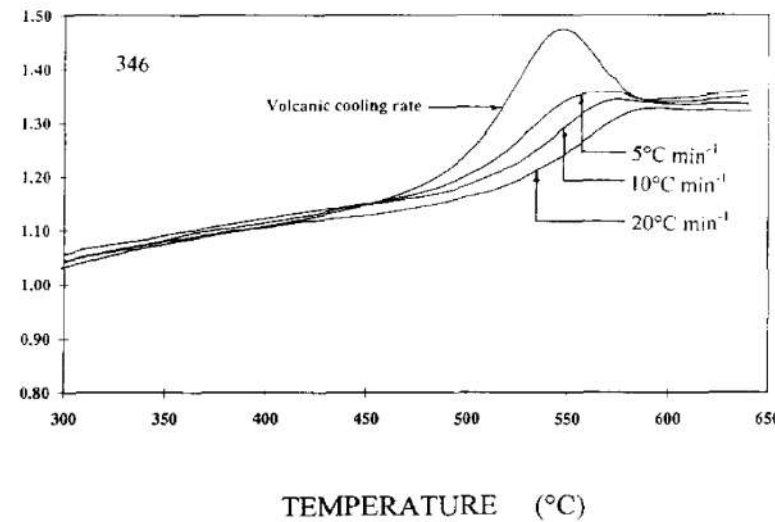
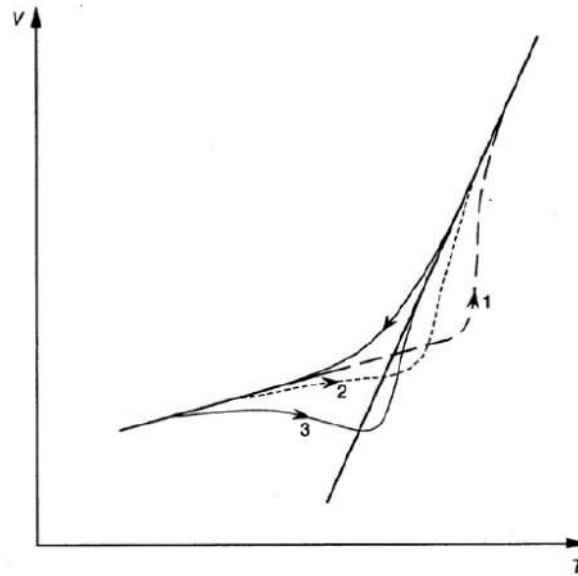


α -Quartz:
décalage
suggérant une
augmentation de
la pression de 25
GPa

Quasiement
verre de silice
pure
Pas de D1
particulièrement
marquée

Cicconi et al. 2021: Non-Magmatic Glasses .
Review in Mineralogy and Geochemistry

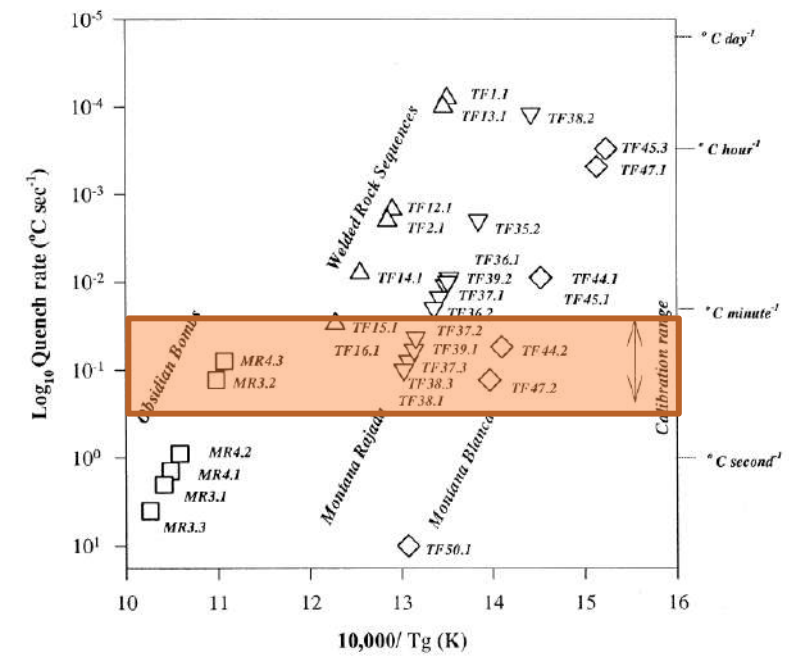
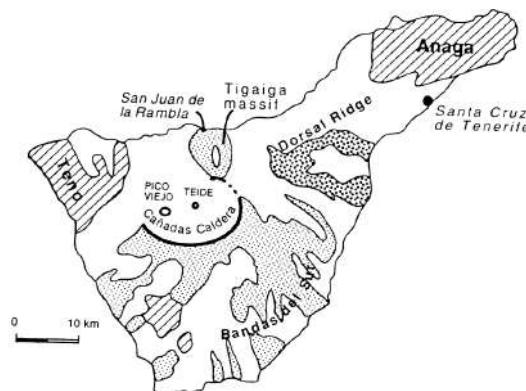
Obsidiennes



123RF.COM

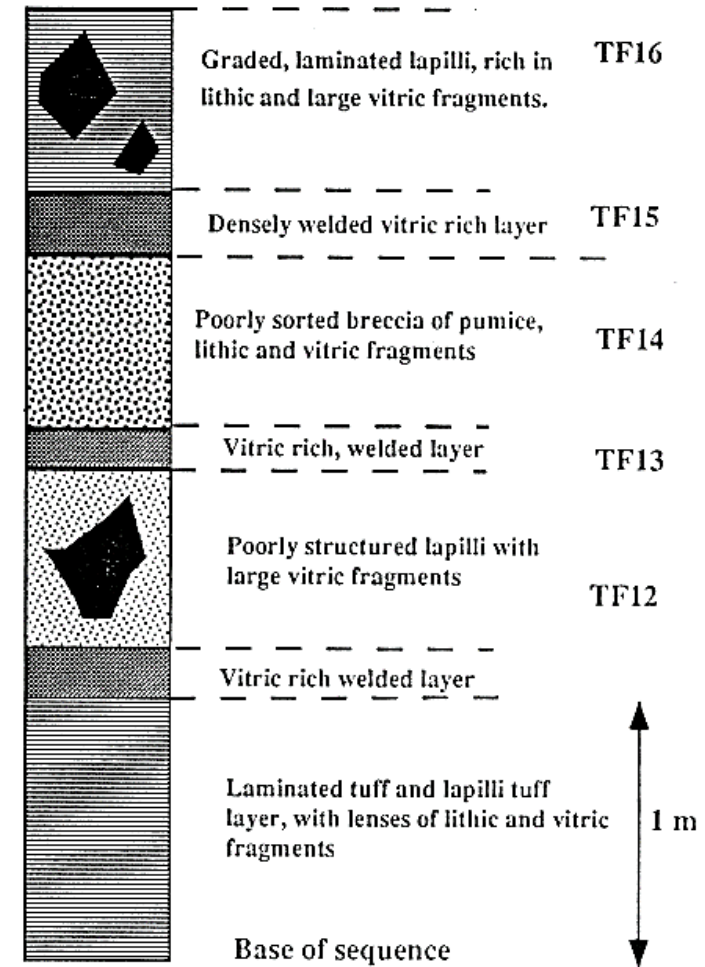
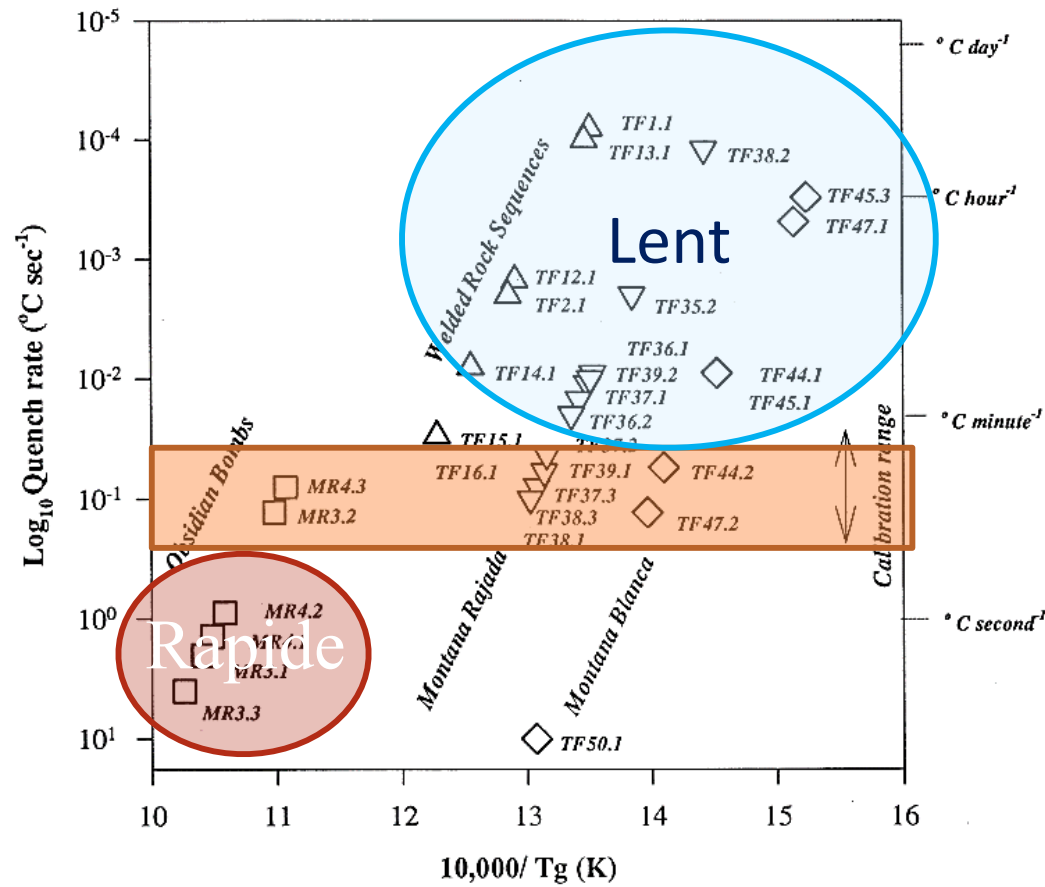
$$-\log_{10} |q| = -\log_{10} |q_0| + \frac{H}{RT_g}$$

Wilding et al. Contrib. Min. Petrol 1996



Obsidiennes

Barrianco del Rio Sequence

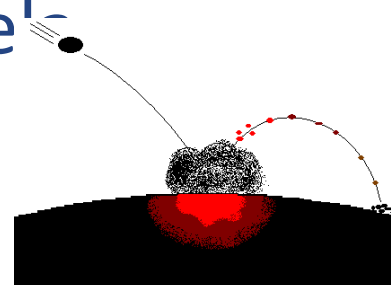
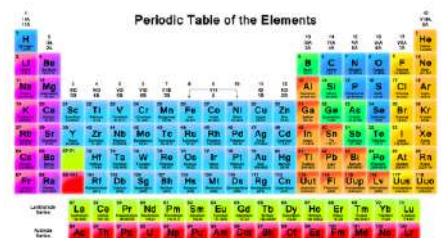
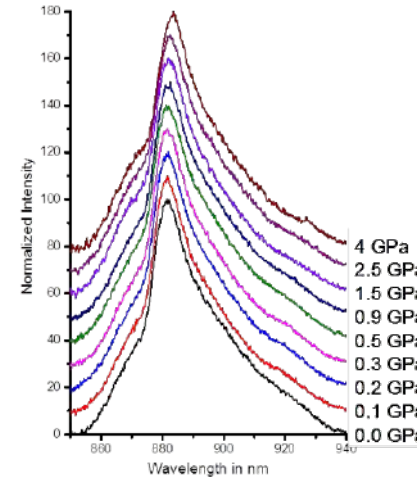


Wilding et al. Contrib. Min. Pet 1996

- Moldavite: 2-10°C/s (CTE, Arndt et al. 1976)
- Tektite: 1-10°C/s (DSC, Wilding et al. 1996)

Conclusion

- Le verre a une mémoire
- Cette mémoire peut être lue en utilisant les spectroscopies de vibrations et de luminescence
- Grande variabilité chimique de la nature couvre bien des effets
- Les éruptions volcaniques, les chutes de météorites et la foudre ne sont pas des effets si extrême que ce





VAYAGIF.COM

FAU

FRIEDRICH-ALEXANDER
UNIVERSITÄT
ERLANGEN-NÜRNBERG

TECHNISCHE FAKULTÄT

FAU
GLAS
WW3



Lena Bressel, Gérard Pankzer et Bernard Champagnon -ILM Lyon 1
Rita Cicconi, Daniel Neuville – IPG Paris

Tectites

- Glass transition temperature:
 - Moldavite: $T_g \approx 740^\circ\text{C}$
 - Chinoises et Thailandaises: $T_g \approx 680^\circ\text{C}$
- cooling rates:
 - Moldavite: 2-10°C/s (from thermal expansion measurements, Arndt et al. 1976)
 - Tektite: 1-10°C/s (from DSC measurements, Wilding et al. 1996)
- possible to detect with spectroscopy?

Chinese Tektite



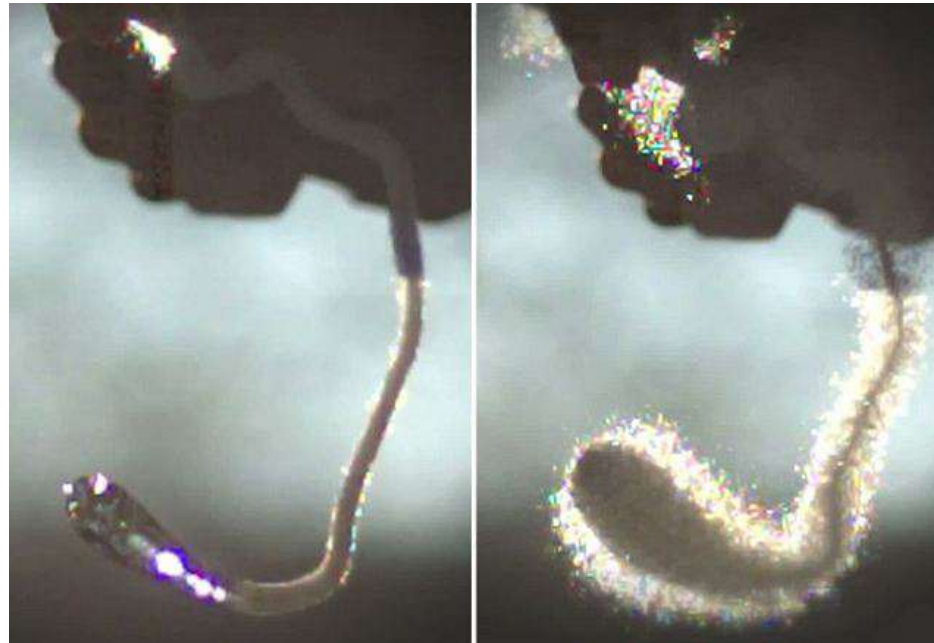
Moldavite



Thai Tektite



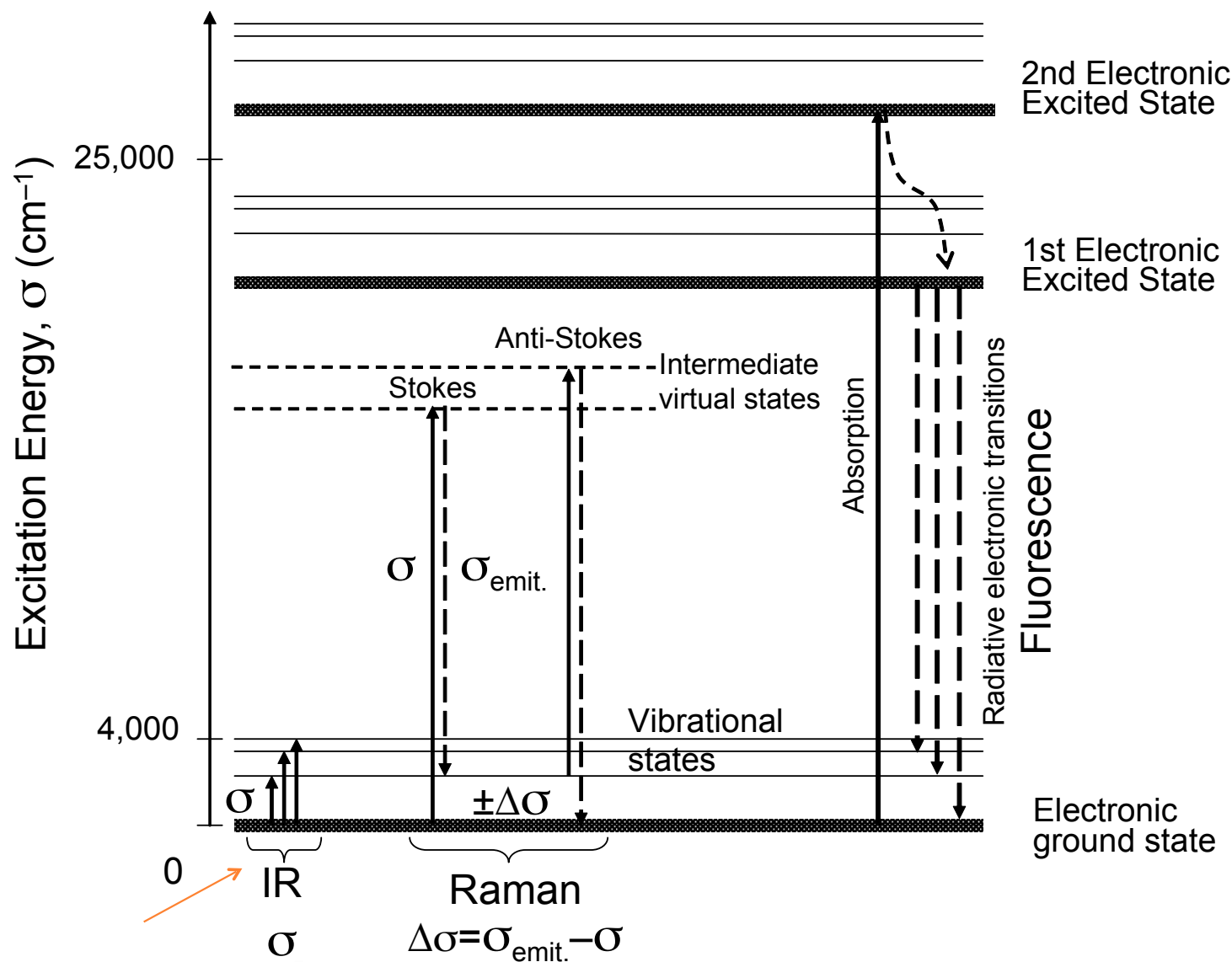
1.1 Who is Prince Rupert



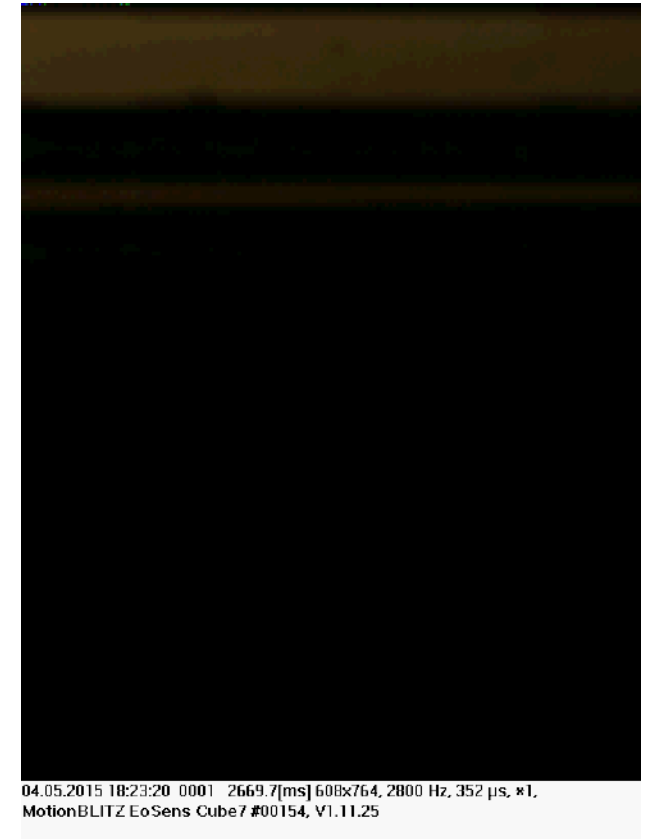
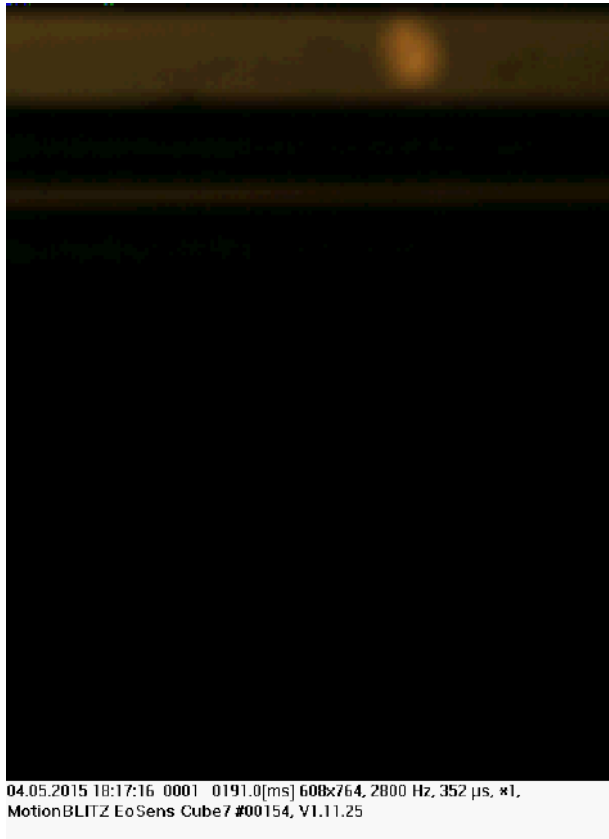
Mystery of Prince Rupert's Drop at 130,000 fps -
Smarter Every Day 86 YouTube

Rupert, Count Palatine of the Rhine, Duke of Bavaria,
Duke of Cumberland 1619-1682

1. Fluorescence / Raman / absorption IR



Bologneser Tränen

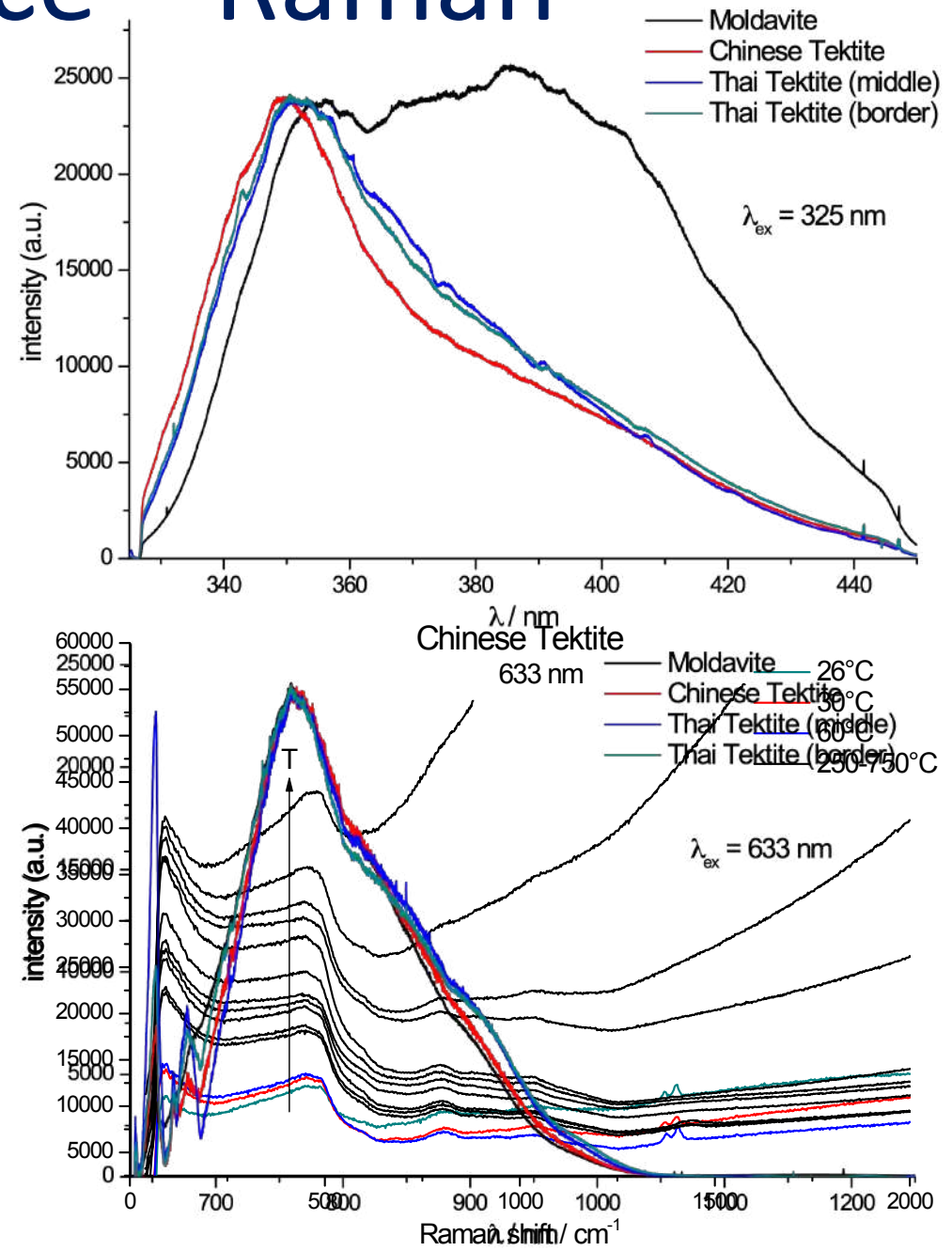
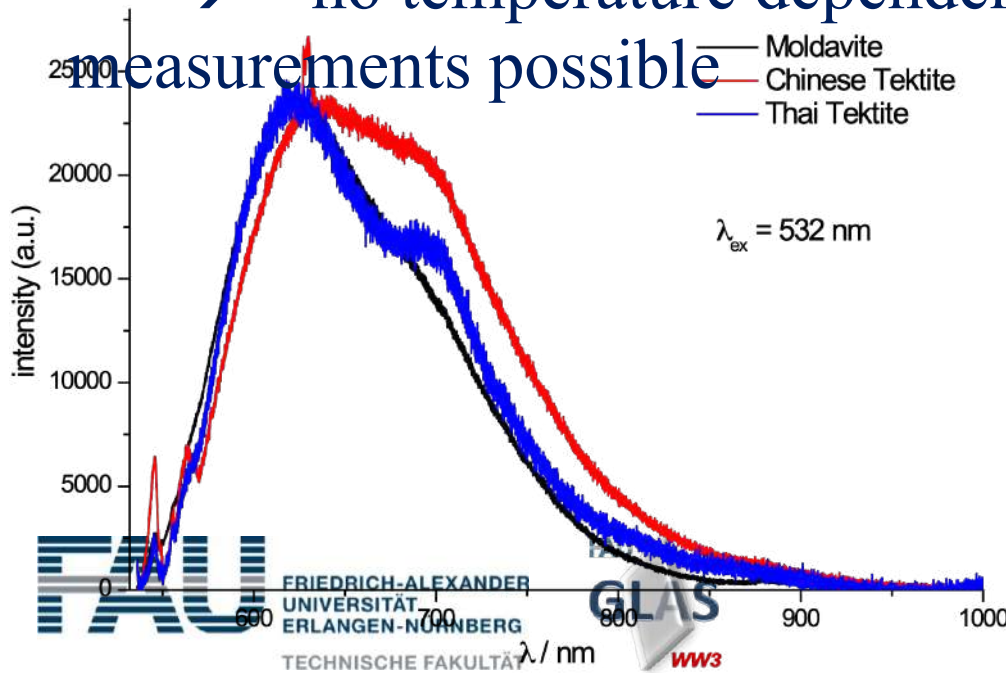


Luminescence – Raman

- strong luminescence
(especially at low wavelength)

heating: diminution of luminescence but increasing black body radiation

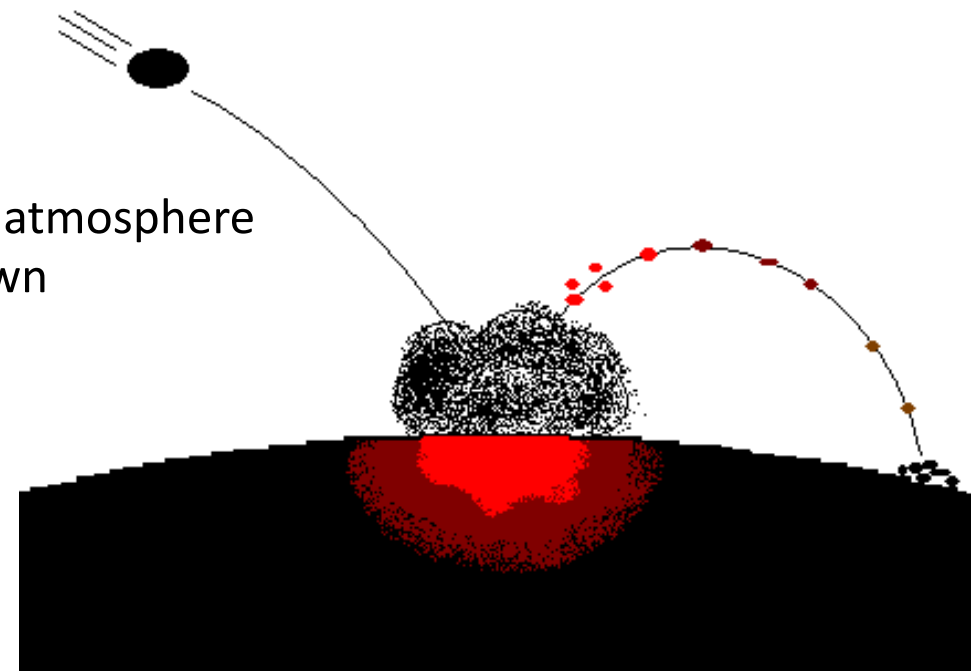
→ no temperature dependent measurements possible

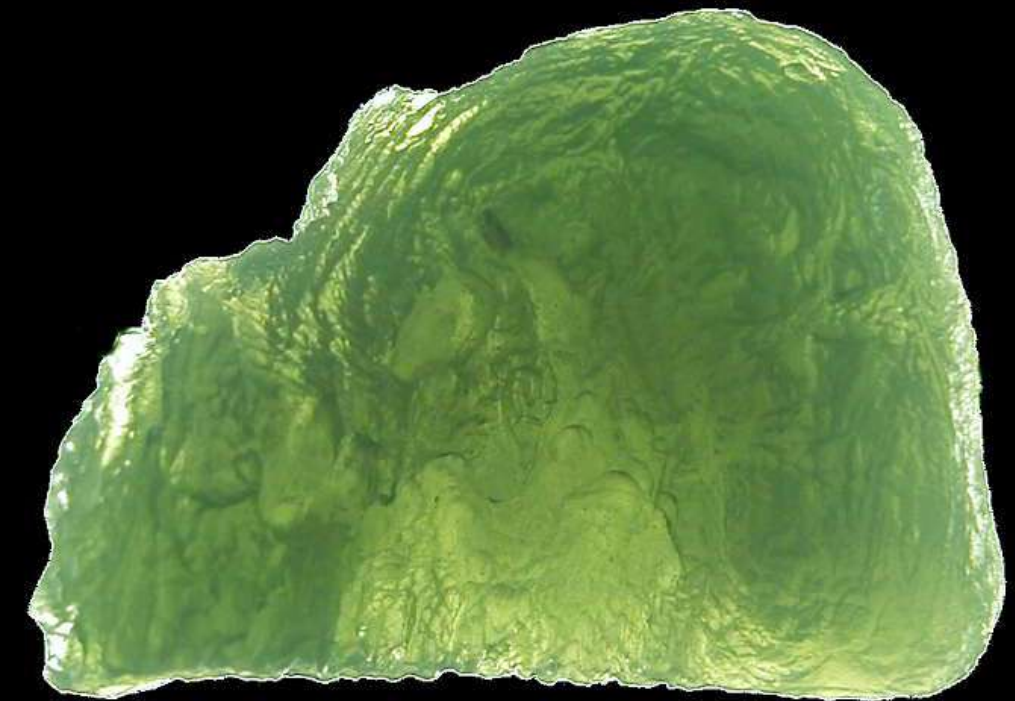
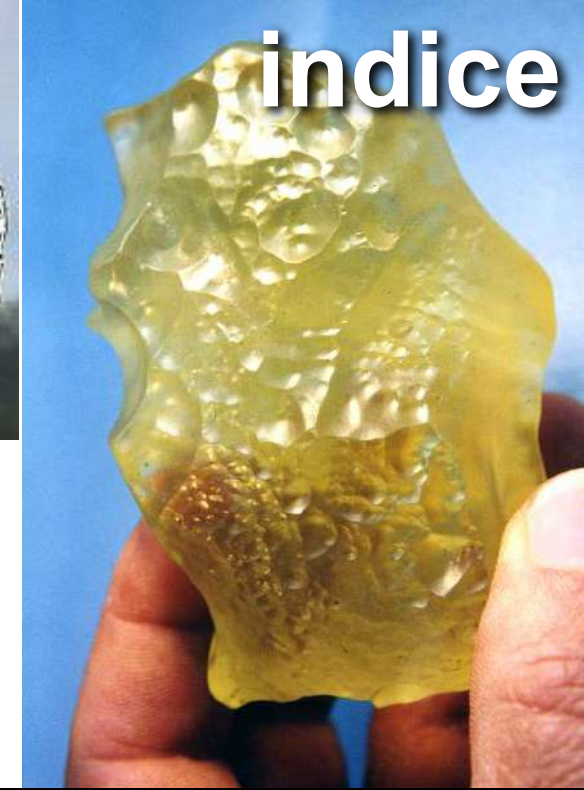


Tektites – Overview

what is this?

- natural glasses
- four known strewn fields (North American, Czechoslovakian, Ivory Coast, Australasian)
- main composition: SiO_2 (70-80%), Al_2O_3 (9-20%), FeO (1-6%), CaO (1-4%), MgO (0.1-3.5%), Na_2O (0.5-2.3%) and K_2O (1-3.5%), MnO/TiO_2 (< 1%)
- origin is still controversial
- believed to result from meteorite impacts
- meteorite hits the surface
- earth liquefies
- drops of the liquefied earth are thrown in the atmosphere
- while flying through the air the drops cool down and solidify into the tektite glasses
- here studied three types of tektites:
Moldavites, Chinese tektites,
Thai tektites

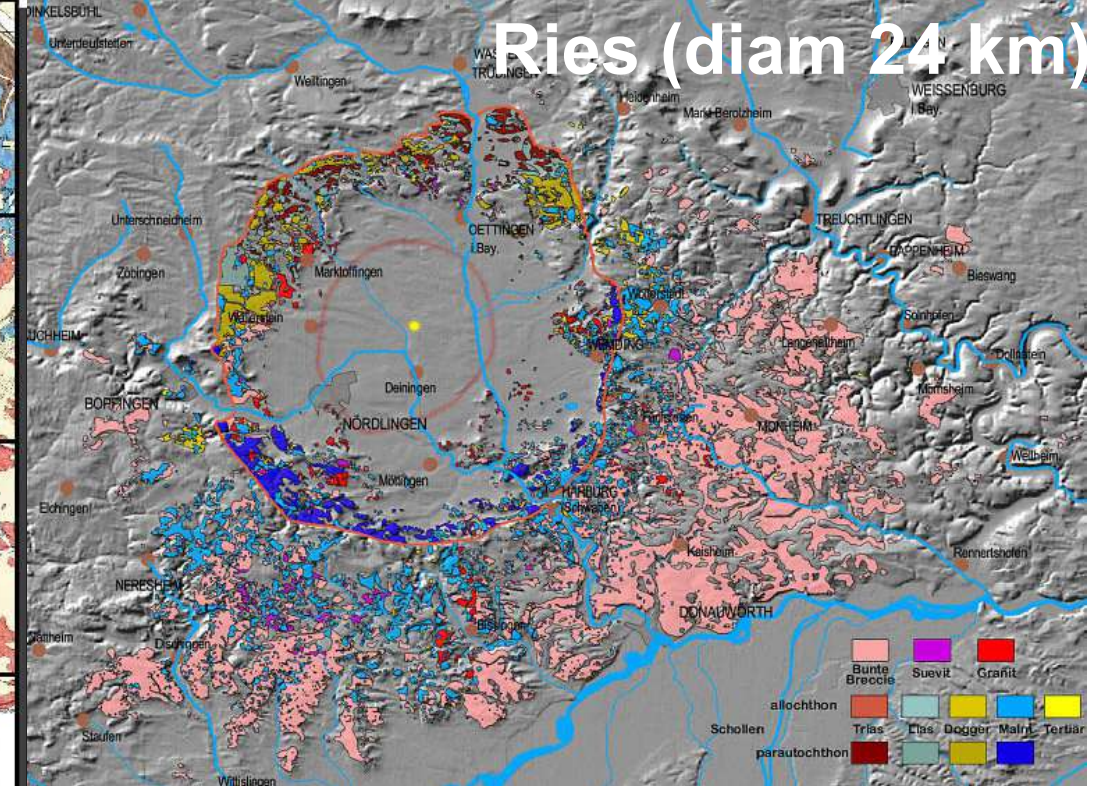
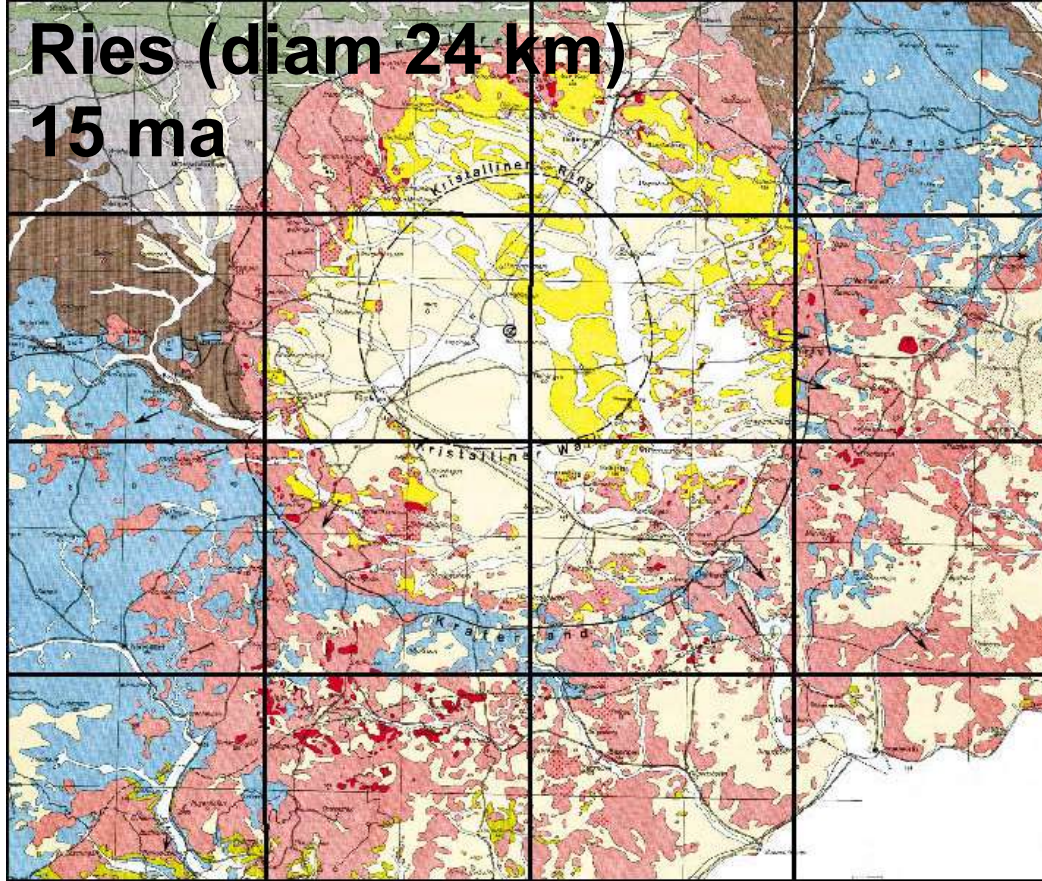




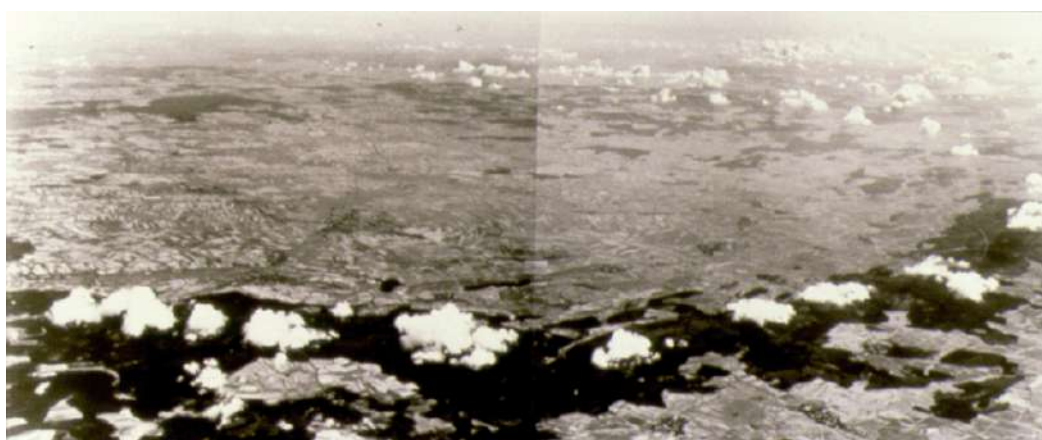
indice

Ries (diam 24 km)

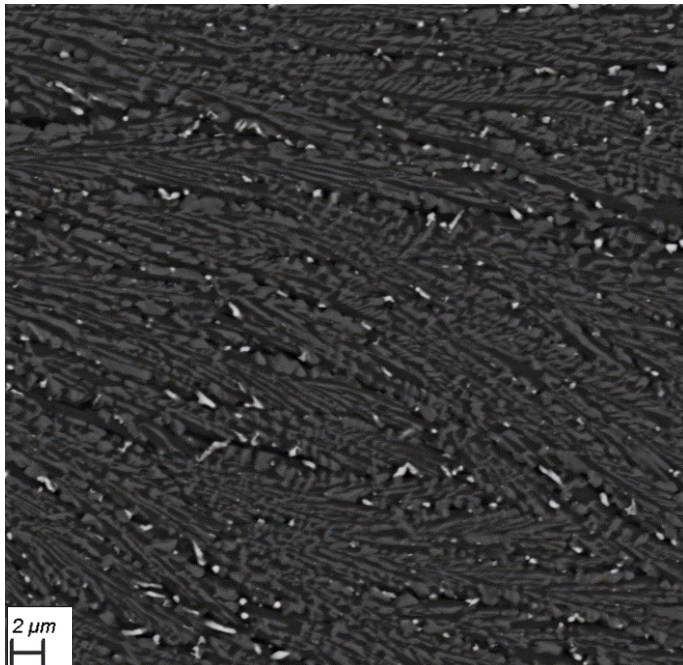
15 ma



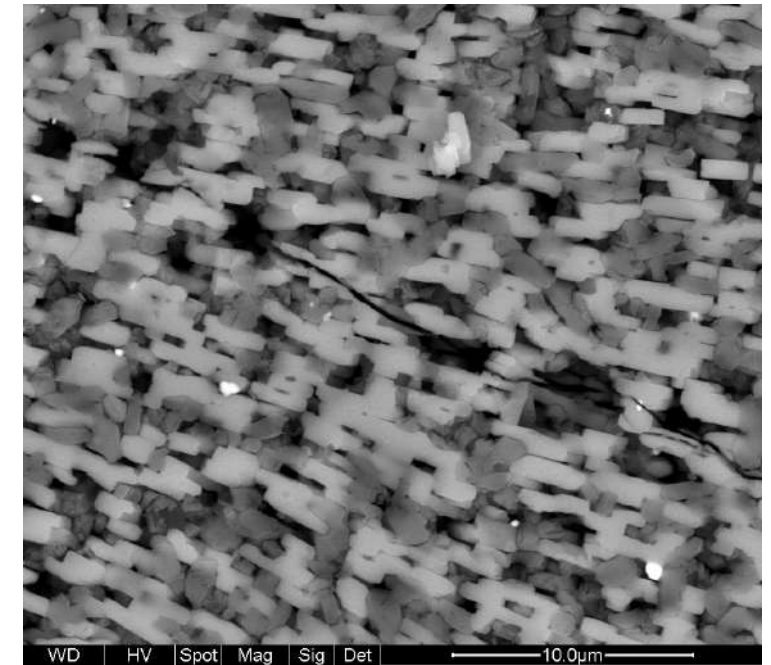
Steinheim (diam 2,5 km)



Rocks



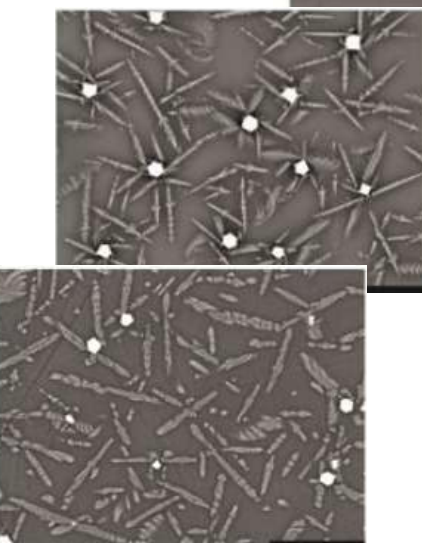
Glass-ceramics



→ History of the volcanic area

→ Mechanical/optical properties

Rocks



→ History of the volcanic area

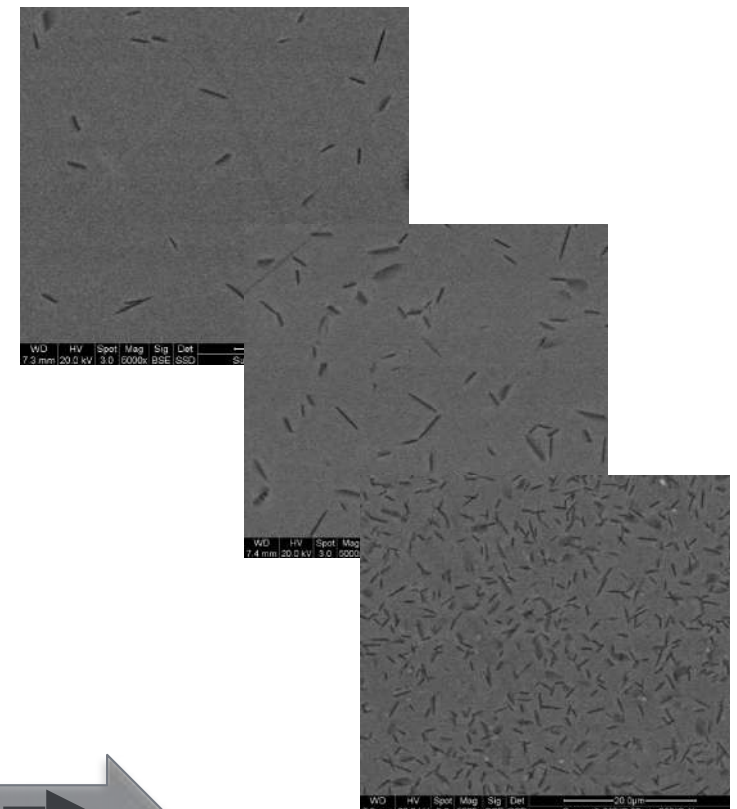


Melt/glass

In
De



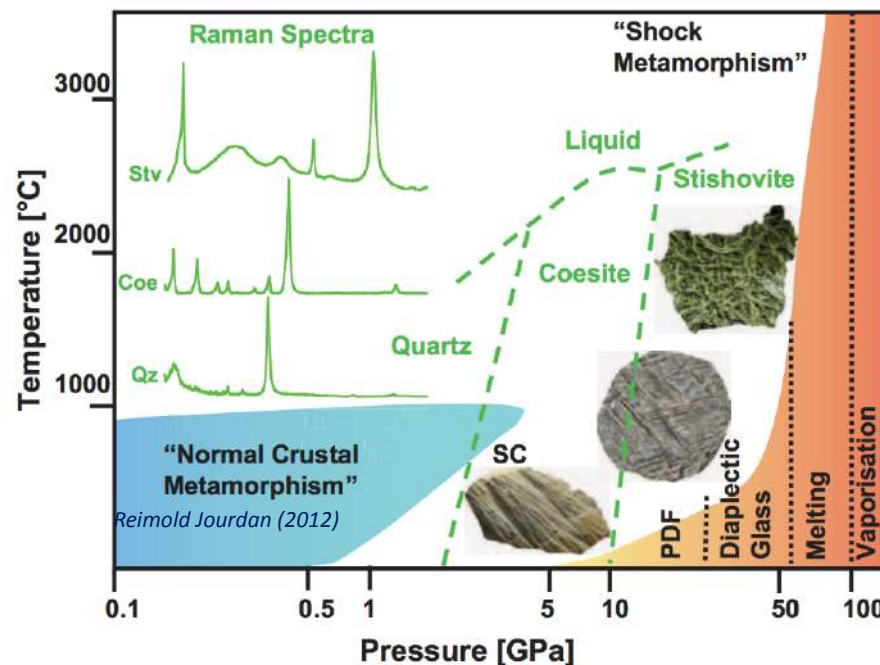
GC



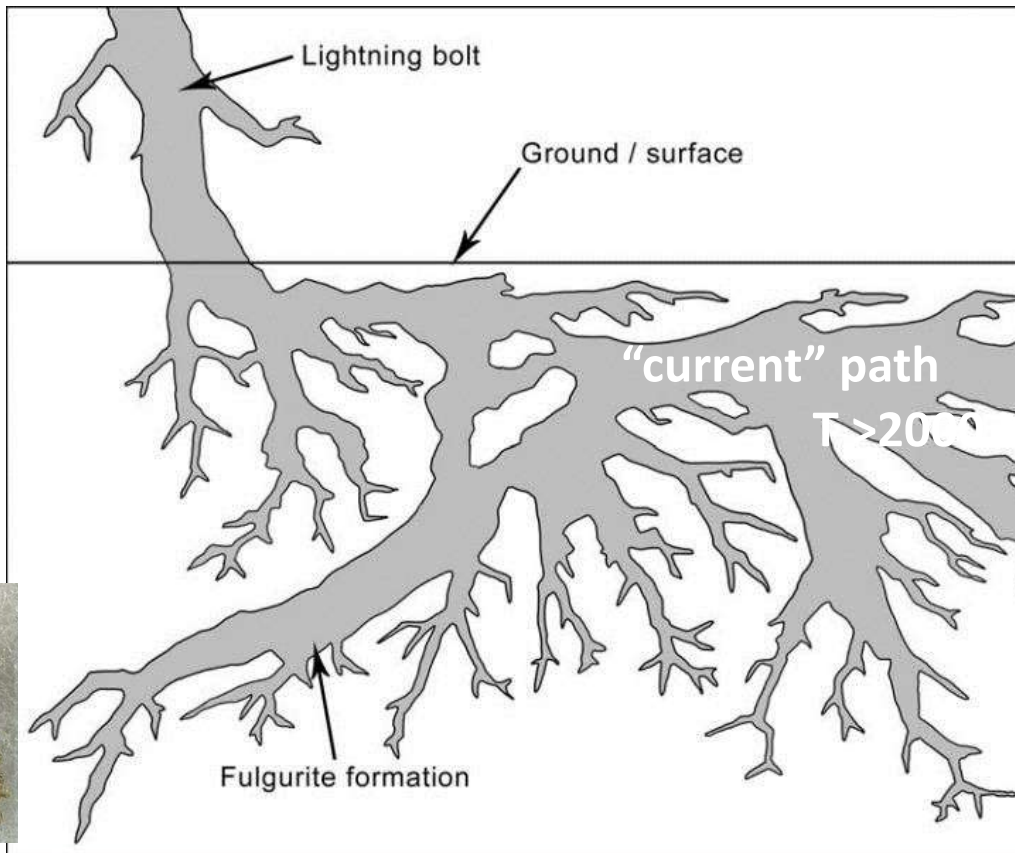
→ Mechanical/optical properties

Investigation of glasses formed under extreme conditions

~~Overheated~~, hyperquenching, meteorite impacts, lunar glasses and irradiation



Images from: Cicconi & Neuville 2019: *Natural glasses*. Springer Handbook of Glasses
 Cicconi et al. 2021: *Non-Magmatic Glasses*. Review in Mineralogy and Geochemistry



Fulgurites

